

**ESTIMASI INDEKS KERENTANAN SEISMIK
BERDASARKAN MIKROTREMOR DENGAN METODE
HORIZONTAL TO VERTICAL SPECTRAL RATIO (HVSR)
DI SEKITAR RSUD PROF. DR. H. M. ANWAR
MAKKATUTU BANTAENG**



Skripsi

Diajukan Untuk Memenuhi Salah Satu Syarat untuk Menyelesaikan
Program Sarjana Sains di Jurusan Fisika, Fakultas Sains dan Teknologi
Universitas Islam Negeri Alauddin Makassar.

Oleh:

NURHIDAYANTI
NIM: 60400115014

UNIVERSITAS ISLAM NEGERI
ALAUDDIN
MAKASSAR

FAKULTAS SAINS DAN TEKNOLOGI

UIN ALAUDDIN MAKASSAR

2019

PERNYATAAN KEASLIAN SKRIPSI

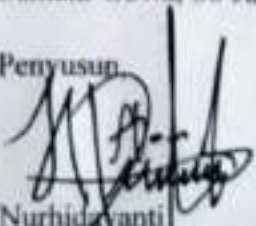
Mahasiswa yang bertanda tangan di bawah ini :

Nama : Nurhidayanti
NIM : 60400115014
Tempat/Tgl.Lahir : Bantaeng, 25 Agustus 1997
Jurusan : Fisika
Fakultas/Program : Sains dan Teknologi
Alamat : JL. Pahlawan No 90, Kel. Bonto Sungguh, Kec.
Bissappu Kab. Bantaeng.
Judul Skripsi : "Estimasi Indeks Kerentananan Seismik
Berdasarkan Mikrotremor Dengan Metode
Horizontal To Vertical Spectral Ratio (HVSZ) di
Sekitar RSUD Prof. Dr. H. M. Anwar Makkatutu
Bantaeng".

Menyatakan dengan sesungguhnya dan penuh kesadaran bahwa skripsi ini benar adalah hasil karya sendiri. Jika dikemudian hari terbukti bahwa ia merupakan duplikat, tiruan, plagiat, atau dibuat oleh orang lain, sebagian atau seluruhnya, maka skripsi ini dan gelar yang diperoleh karenanya batal demi hukum.

Samata-Gowa, 30 Juli 2019

Penyusun



Nurhidayanti
NIM. 60400115014

PENGESAHAN SKRIPSI

Skripsi yang berjudul "Estimasi Indeks Kerentanan Seismik Berdasarkan Mikrotremor Dengan Metode *Horizontal To Vertical Spectral Ratio (HVSAR)* di Sekitar RSUD Prof. Dr. H. M. Anwar Makkatutu Bantaeng", yang disusun oleh Nurhidayanti, Nim :60400115014 Mahasiswa Jurusan Fisika pada Fakultas Sains dan Teknologi UIN Alauddin Makassar, telah diuji dan dipertahankan dalam sidang *Munaqasyah* yang diselenggarakan pada hari Rabu tanggal 7 Agustus 2019 M, bertepatan dengan 06 Dzulhijjah 1440 H dinyatakan dapat diterima sebagai salah satu syarat untuk meraih gelar Sarjana dalam ilmu Sains, Jurusan Fisika.

Makassar, 7 Agustus 2019 M
06 Dzulhijjah 1440 H

DEWAN PENGUJI

Ketua	: Prof. Dr. H. Arifuddin, M.Ag.	(.....)
Sekretaris	: Ihsan, S.Pd., M.Si.	(.....)
Munaqisy I	: Sahara, S.Si., M.Sc., Ph.D	(.....)
Munaqisy II	: Dr. Sohrah, M.Ag	(.....)
Pembimbing I	: Muh. Said L, S.Si., M.Pd	(.....)
Pembimbing II	: Ayusari Wahyuni, S.Si., M.Sc	(.....)

Diketahui Oleh:

Dekan Fakultas Sains dan Teknologi
UIN Alauddin Makassar



Prof. Dr. H. Arifuddin, M.Ag.
NIP. 19691205 199303 1 001

KATA PENGANTAR

Puji dan syukur penulis panjatkan atas kehadiran Allah Subhanahu Wata'ala atas segala limpahan berkat dan rahmat-Nya sehingga penulis dapat menyelesaikan serta menyusun skripsi ini yang berjudul **“Estimasi Indeks Kerentanan Seismik Berdasarkan Mikrotremor Dengan Metode *Horizontal To Vertical Spectral Ratio (HVSR)* di Sekitar RSUD Prof. Dr. H. M. Anwar Makkatutu Bantaeng”**. Salam dan salawat selalu tercurah kepada junjungan baginda Rasulullah saw, yang telah membawa manusia dari alam jahiliyah menuju alam yang berilmu seperti sekarang. Skripsi ini disusun sebagai salah satu syarat yang harus dipenuhi untuk menyelesaikan program Strata-I di Jurusan Fisika, Fakultas Sains dan Teknologi, Universitas Islam Negeri (UIN) Alauddin Makassar.

Skripsi ini penulis persembahkan dengan penuh rasa terima kasih kepada Ayahanda tercinta **Suwardi, S.Pdi** dan Ibunda tercinta **Hj. Suriati, S.Pd** selaku orang tua yang telah menjadi motivator dan pemberi semangat yang luar biasa agar penulis dapat menyelesaikan skripsi ini dengan cepat serta tiada henti-hentinya mendoakan penulis dengan penuh kesabaran dan ketulusan agar penulis diberi kemudahan dalam menyelesaikan Skripsi ini.

Penulis juga mengucapkan rasa hormat dan terima kasih kepada Bapak **Muh. Said L, S.Si., M.Pd** dan Ibu **Ayusari Wahyuni, S.Si., M.Sc**, selaku pembimbing I dan II yang telah mencurahkan ilmu dan waktu untuk membimbing penulis serta mendengarkan segala keluh kesah penulis dengan penuh kesabaran, sehingga penulis dapat menyelesaikan skripsi ini. Penulis juga menyadari sepenuhnya, dalam penyusunan skripsi ini tidak lepas dari tantangan dan hambatan

namun berkat pertolongan dari Allah Swt dan dukungan, bantuan serta doa dari berbagai pihak sehingga penyelesaian skripsi ini dapat terwujud. Oleh karena itu penulis juga mengucapkan terima kasih kepada:

1. Bapak **Prof. Dr. Musafir, M.Si** selaku mantan Rektor UIN Alauddin Makassar Periode 2015-2019 dan Rektor **Prof. Hamdan Juhannis, M.A.,Ph.D** Periode 2019-2023 beserta Wakil Rektor I, Wakil Rektor II dan Wakil Rektor III.
2. Bapak **Prof. Dr. H. Arifuddin, M.Ag** selaku Dekan Fakultas Sains dan Teknologi beserta Wakil Dekan I Ibu **Dr. Wasilah, S.T., M.T**, Wakil Dekan II Bapak **Dr. M. Thahir Maloko, M.HI** dan Wakil Dekan III Ibu **Dr. Ir. Andi Suarda, M.Si**.
3. Ibu **Sahara, S.Si., M.Sc., Ph.D** selaku Ketua Jurusan Fisika, sekaligus sebagai Penguji I juga selaku Penasehat Akademik yang telah setia dan sabar membimbing dan memberikan masukan akademik kepada penulis. dan Ibu **Dr. Sohrah, M.Ag** selaku Penguji II yang telah memberikan kritikan dan saran yang membangun untuk perbaikan proposal ini.
4. Bapak **Ihsan, S.Pd., M.Si** selaku Sekretaris Jurusan Fisika Fakultas Sains dan Teknologi UIN Alauddin Makassar.
5. Ibu **Rahmaniah, S.Si., M.Si** selaku Kepala Laboratorium Jurusan Fisika, Fakultas Sains dan Teknologi UIN Alauddin Makassar.
6. Bapak/Ibu Dosen Jurusan Fisika yang telah memberikan ilmunya dan mendidik penulis dengan ketulusan serta kesabarannya sejak penulis masih semester pertama hingga selesai melewati masa perkuliahan.

7. Bapak **Muhtar, S.T**, Bapak **Abdul Mun'im Thariq, S.T**, Bapak **Ahmad Yani, S.Si**, dan Ibu **Nurhaisah, S.Si** selaku laboran Jurusan Fisika yang telah sabar dan tulus membimbing dan mendidik penulis selama proses praktikum.
8. Seluruh **Staf Akademik** Fakultas Sains dan Teknologi UIN Alauddin Makassar.
9. **Hadiningsih, SE** selaku staf akademik Jurusan Fisika yang telah membantu penulis dalam penyelesaian administrasi persuratan penulis sejak menjadi mahasiswa baru hingga tahap tugas akhir.
10. Seluruh **Staf Bidang Observasi Geofisika dan Pembimbing Lapangan** di BMKG Wilayah IV Makassar yang telah memberikan pengajaran dan bimbingan selama proses penelitian hingga pengolahan data skripsi.
11. Sahabat-sahabat tercinta **Fatma, Dian, Nining, Nia, Irma, Nurul, Nini, Tuti** serta keluarga besar **Res15tor**, yang selalu setia mendengarkan segala kepusingan dan keluh kesah penulis selama menjadi mahasiswa. Terima kasih atas semuanya, semoga persahabatan kita kekal dunia dan akhirat. Amin.
12. Keluarga besar **Sains Fisika** baik itu senior maupun junior yang telah memberikan bantuan moril dan dorongan semangat untuk menyelesaikan tugas akhir ini.
13. Teman-teman dari pengurus HMGI Wilayah 5 (**Ica, Anas, Edi, Sinta, Lisma**) dan demisioner HMGI (**Kakak Hengki, Kakak Maher, Kakak**

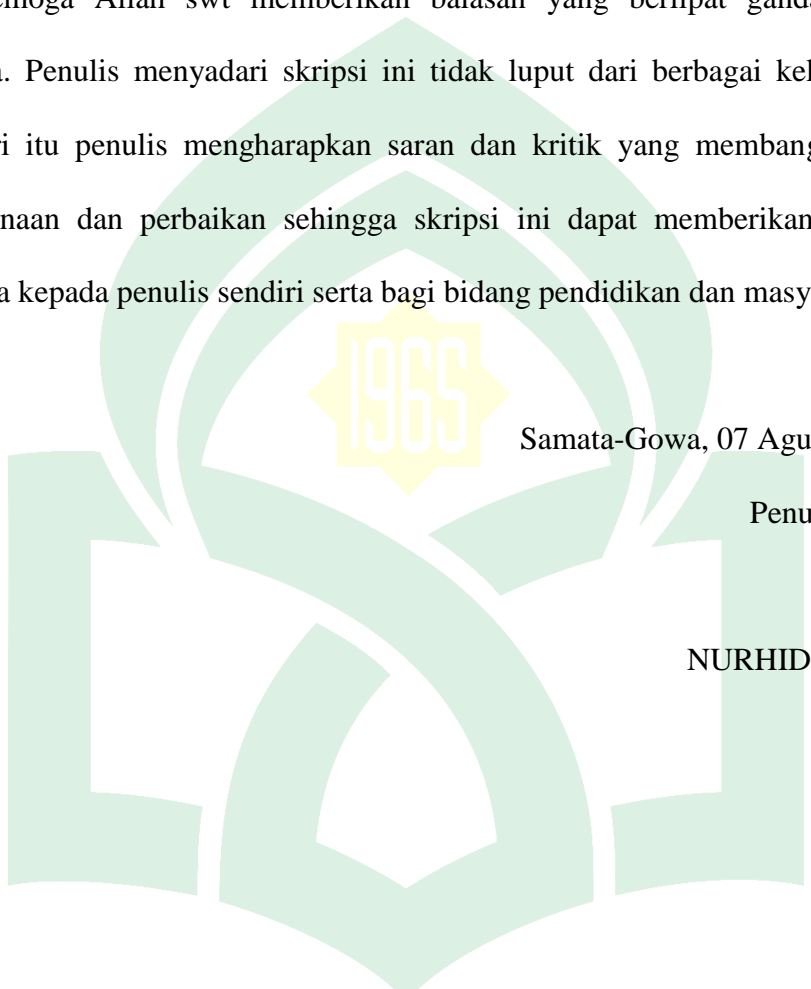
Ririn dan Kakak Zamrina) yang telah mensupport saya serta berbagi ilmu dan semangat selama proses penulisan skripsi ini.

Semoga Allah swt memberikan balasan yang berlipat ganda kepada semuanya. Penulis menyadari skripsi ini tidak luput dari berbagai kekurangan, maka dari itu penulis mengharapkan saran dan kritik yang membangun demi kesempurnaan dan perbaikan sehingga skripsi ini dapat memberikan manfaat khususnya kepada penulis sendiri serta bagi bidang pendidikan dan masyarakat.

Samata-Gowa, 07 Agustus 2019

Penulis

NURHIDAYANTI



UNIVERSITAS ISLAM NEGERI
ALAUDDIN
M A K A S S A R

DAFTAR ISI

PERYATAAN KEASLIAN SKRIPSI.....	ii
PENGESAHAN SKRIPSI	iii
KATA PENGANTAR	iv
DAFTAR ISI.....	viii
DAFTAR TABEL.....	xi
DAFTAR GAMBAR	xii
DAFTAR SIMBOL.....	xiv
DAFTAR LAMPIRAN.....	xv
ABSTRAK	xvi
BAB I PENDAHULUAN.....	1
1.1 Latar Belakang	1
1.2 Rumusan Masalah Penelitian	3
1.3 Tujuan Penelitian.....	4
1.4 Ruang Lingkup Penelitian	5
1.5 Manfaat Penelitian.....	5
BAB II TINJAUAN TEORETIS	6
2.1 Indeks Kerentanan Seismik (Kg)	6
2.2 Faktor Amplifikasi (A_0).....	6
2.3 Frekuensi Dominan	7
2.4 Percepatan Getaran Tanah Maksimum.....	9
2.5 Pengertian Tanah.....	11
2.6 Jenis-Jenis tanah	11
2.7 Gempabumi Dalam Prespektif Al-Qur'an.....	14
2.8 Mikrotremor	22
2.9 Gelombang pada HVSR Mikrotremor	22
2.10 Aplikasi Mikrotremor.....	23
2.11 Mikrotremor Pada Tanah.....	26
2.12 Kondisi Tanah Kabupaten Bantaeng.....	30

BAB III METODE PENELITIAN.....	30
3.1 Waktu dan Tempat Penelitian	33
3.2 Alat dan Bahan	33
3.3 Prosedur Kerja	36
3.4 Diagram Alir Penelitian.....	40
BAB IV HASIL DAN PEMBAHASAN	41
4.1 Hasil Penelitian.....	41
4.2 Hasil Pengukuran Mikrotremor.....	42
4.3 Analisis Frekuensi Alamiah Tanah (<i>ftanah</i>).....	43
4.4 Periode dominan (T_0).....	50
4.5 Indeks Kerentanan Seismik (K_g)	52
4.6 Analisis Percepatan Getaran Tanah (<i>PGA</i>).	54
BAB V PENUTUP.....	57
5.1 Kesimpulan.....	57
5.2 Saran.....	58
DAFTAR PUSTAKA	59
RIWAYAT HIDUP.....	61
LAMPIRAN LAMPIRAN.....	L1

DAFTAR TABEL

No. Tabel	Keterangan Tabel	Halaman
2.1	Nilai Indeks Kerentanan Seismik	6
2.2	Pembagian Zona Berdasarkan Nilai Amplifikasi	7
2.3	Klasifikasi Tanah Oleh Kanai Berdasarkan Nilai Frekuensi Dominan Mikrotremor (Modifikasi) (Kanai, 1983).	8
2.4	Skala Intensitas Gempabumi	9
4.1	Hasil Pengukuran Mikrotremor Untuk Frekuensi Dominan.	42
4.2	Hasil Pengukuran Mikrotremor Untuk Amplifikasi.	42
4.3	Hasil Analisis Data Nilai Frekuensi Dominan (F_0)	47
4.4	Hasil Analisis Data Nilai Periode Dominan (T_0)	52
4.5	Hasil Analisis Data Nilai Indeks Kerentanan Seismik (K_g)	53
4.6	Hasil Analisis Data Percepatan Getaran Tanah/ <i>PGA</i>	55

DAFTAR GAMBAR

No. Tabel	Keterangan Gambar	Halaman
2.1	Perbandingan kurva HVSR. HVSR Pengukuran, Permodelan dengan Basis Gelombang badan dan Gelombang Permukaan Mode Dasar sampai Mode ke-9	25
2.2	Perbandingan HVSR Model Variasi Ketebalan Lapisan	27
2.3	Prinsip Dasar Respon Lokasi Mikrotremor	30
2.4	Peta Kabupaten Bantaeng	31
3.1	Peta Lokasi Penelitian	33
3.2	Digitaizer	33
3.3	GPS Antenna	34
3.4	Seismometer TDL 303S	34
3.5	GPS (<i>Global Positioning System</i>)	34
3.6	Laptop	35
3.7	Kabel	35
3.8	Lokasi Kecamatan Pallantikang	36
4.1	Peta Lokasi Penelitian	41
4.2	Grafik Hasil Pengukuran Data Pertama di Tanah Timbunan	43
4.3	Grafik Hasil Pengukuran Data kedua di Tanah Timbunan	44
4.4	Grafik Hasil Pengukuran Data ketiga Di Tanah Timbunan	44
4.5	Grafik Hasil Pengukuran Data Keempat di Tanah Timbunan	45

4.6	Grafik Hasil Pengukuran Data Kelima Tanah Asli	45
4.7	Grafik Hasil Pengukuran Data Keenam Tanah Asli	46
4.8	Grafik Hasil Pengukuran Data Ketujuh Tanah Asli	46
4.9	Grafik Hasil Pengukuran Data Kedelapan Tanah Asli	47
4.10	Kontur Sebaran Nilai Frekuensi Dominan (f_o)	50
4.11	Kontur Sebaran Nilai Periode Dominan (T_o)	52
4.12	Kontur Sebaran Nilai Indeks Kerentanan Seismik (K_g)	54
4.13	Kontur Sebaran Nilai Percepatan Getaran Tanah (PGA)	56



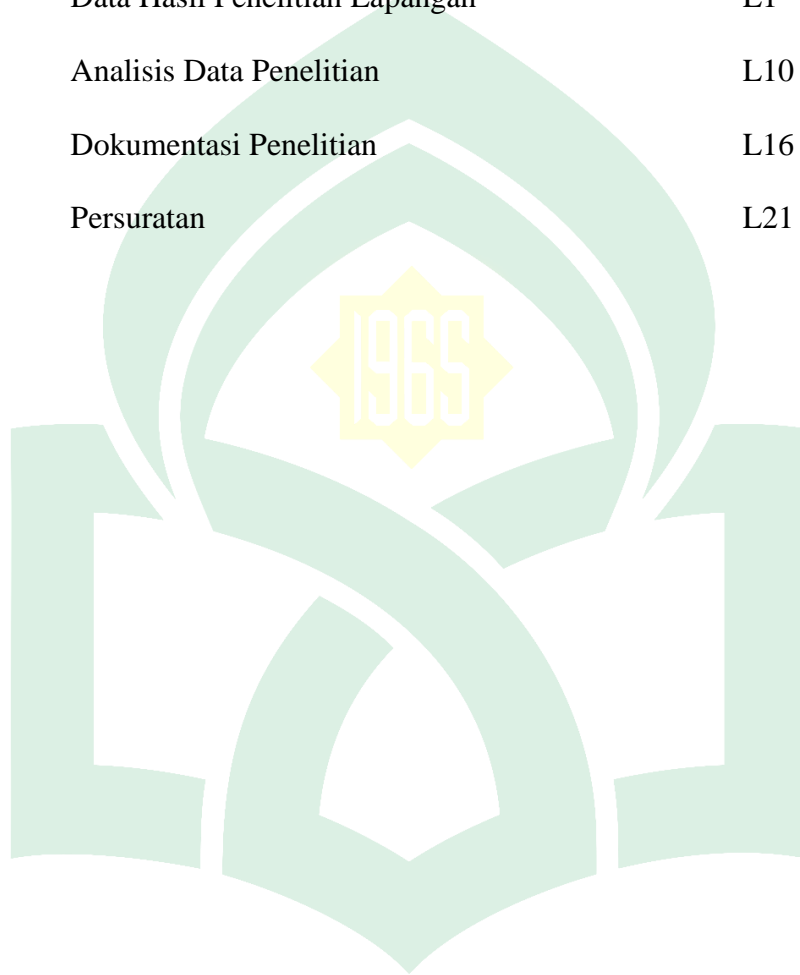
DAFTAR SIMBOL

Simbol	Keterangan Gambar	Satuan
f_o	Frekuensi Dominan	Hz
H	Ketebalan Sedimen	M
T_o	Periode Dominan	S
A_{o^2}	Faktor Amplifikasi	
K_g	Indeks Kerentanan Seismik	
A	Percepatan Getaran Tanah/PGA	Gal

UNIVERSITAS ISLAM NEGERI
ALAUDDIN
M A K A S S A R

DAFTAR LAMPIRAN

No	Lampiran Keterangan	Halaman Halaman
1	Data Hasil Penelitian Lapangan	L1
2	Analisis Data Penelitian	L10
3	Dokumentasi Penelitian	L16
5	Persuratan	L21



UNIVERSITAS ISLAM NEGERI
ALAUDDIN
M A K A S S A R

ABSTRAK

Nama : Nurhidayanti
Nim : 60400115014
JudulSkripsi : **Estimasi Indeks Kerentanan Seismik Berdasarkan Mikrotremor Dengan Metode *Horizontal To Vertical Spectral Ratio (HVSr)* di Sekitar RSUD Prof. Dr. H. M. Anwar Makkatutu Bantaeng”.**

Penelitian ini dilakukan di tanah sekitar RSUD Prof. Dr. H. M. Anwar Makkatutu Bantaeng, kelurahan Pallantikang, kabupaten Bantaeng. Penelitian ini bertujuan mengetahui besar frekuensi alamiah tanah gedung, besar nilai indeks kerentanan seismik dan besar nilai percepatan getaran tanah/*PGA* di sekitaran RSUD Prof. Dr. H. M. Anwar Makkatutu Bantaeng. Nilai frekuensi dan Amplifikasi tersebut diperoleh dengan menggunakan alat mikrotremor yang kemudian data hasil penelitian diolah menggunakan *software geopshy* dengan menggunakan metode *Horizontal to Vertical Spectral Ratio (HVSr)*. Hasil penelitian besar nilai frekuensi yang diperoleh dari tanah timbunan dengan titik pengukuran pertama adalah 1,62955 Hz dan untuk titik pengukuran kelima yang berada di tanah asli adalah 5,54257 Hz. Untuk hasil dari indeks kerentanan seismik titik pengukuran MT1, MT2, MT3, MT4, MT6, MT7 dan MT8 dengan nilai indeks kerentanan seismik rentan nilai 3-6 sehingga bangunan RSUD Bantaeng masih keadaan aman apabila terjadi gempa, akan tetapi jika daerah tersebut sering menggoncang maka di daerah tersebut dan sekitarnya bisa merusak bangunan. Sedangkan analisis percepatan getaran tanah *PGA* pada daerah RSUD Bantaeng memiliki percepatan getaran tanah yang relatif kecil dimana kisaran 6,27993 sampai 11,7713 *gal* yang pengaruh relatif kecil terhadap intensitas gempabumi.

Kata kunci: *Mikrotremor, Frekuensi Dominan, Indeks Kerentanan, PGA, Gempabumi.*

UNIVERSITAS ISLAM NEGERI
ALAUDDIN
M A K A S S A R

ABSTRACT

Name : Nurhidayanti
Nim : 60400115014
Thesis title : **Estimation of Seismic Vulnerability Index Method Based on Microtremor *Horizontal to Vertical Spectral Ratio (HVSR)* at about hospital Prof. Dr. H. M Anwar Makkatutu Bantaeng.**

The research was carried out on the ground around the hospital Prof. Dr. H.M Anwar Makkatutu Bantaeng, Pallantikang village, district Bantaeng. The aims of this research to know the frequency of natural soil building, great value and great vulnerability index seismic vibration acceleration value of the land / PGA area at Hospital Prof. Dr. H.M Anwar Makkatutu Bantaeng, The frequency and amplification value was obtained by using the mikrotremor tool then the research data was processed by using *software geopshy* and using *Horizontal to Vertical Spectral Ratio (HVSR)* method. The big results of this research frequency values was obtained from the soil embankment with the first measurement point 1.62955 Hz and for five measurement points that were in the original soil 5.54257 Hz. For the results of the seismic vulnerability index measuring point MT1, MT2, MT3, MT4, MT6, MT7 and MT8 with vulnerable seismic vulnerability index value grades 3-6 so that the hospital building of Bantaeng still safe state when the earthquake, but if the area was often unsettle it in the surrounding area and could damage the building. While the analysis of the ground vibration acceleration Bantaeng PGA at hospitalarea have vibration acceleration was relatively small ground where the range of 6.27993 to 11.7713 gal relatively small influence on the intensity of earthquakes.

Keywords: *Microtremor, Dominant Frequency, Vulnerability Index, PGA, Earthquake.*

UNIVERSITAS ISLAM NEGERI
ALAUDDIN
M A K A S S A R

BAB I

PENDAHULUAN

1.1 Latar Belakang

Gempabumi adalah getaran yang terjadi di permukaan bumi akibat pelepasan energi dari dalam secara tiba-tiba yang menciptakan gelombang seismik. Tahun 2018 terjadi gempa di Palu tepat tanggal 28 September pukul 17:02:44 WIB, Donggala, Sulawesi Tengah dengan kekuatan 7,7 SR lokasi 0,18 LS - 119,85 BT dengan kedalaman 10 km (BMKG Wilayah IV Makassar), mengakibatkan bangunan di Palu rusak berat, efek dari gempa palu ini menyebabkan bangunan RSUD Bantaeng mengalami kerusakan di lantai 8 berdasarkan survei yang telah dilakukan.

Salah satu metode yang digunakan untuk mengetahui indeks kerentanan tanah bangunan RSUD Bantaeng yaitu metode mikrotremor HVSR (*Horizontal to Vertical Fourier Amplitude Spectral Ratio*) yang dilakukan pada penelitian ini tentang kerentanan tanah. Kemampuan teknik HVSR dapat memberikan informasi yang bisa diandalkan dan metode dengan efek lokal ditunjukkan secara cepat hubungan timbal balik dengan parameter HVSR yang dicirikan oleh frekuensi natural rendah (periode tinggi) dan amplifikasi tinggi. Sehingga untuk estimasi frekuensi, redaman dan indeks kerentanan pada getaran bangunan dari keadaan amplitudo kecil dinilai akurat dan stabil (Juan Pandu GNR, 2017).

Pembangunan RSUD Bantaeng yang berada tepat di atas permukaan laut yang telah ditimbun, karena struktur di bawah permukaan laut dan garis pantai dari terjangan ombak kuat, membangun di atas sedimen hasil pengerukan juga beresiko bagi para penghuni bangunan, karena tingkatan tersebut tidak stabil lapisan batu di darat dan tanah reklamasi juga menimbulkan risiko di daerah-daerah yang rentan gempa bumi, yang belum lama ini terjadi Gempa bumi Palu yang mengakibatkan getaran gempa dirasakan gedung RSUD Prof. Dr. Anwar Makkatutu Bantaeng

Menurut Suyono Sosrodarsono (1984: 8) tanah di definisikan sebagai partikel-partikel mineral yang tersemen maupun yang lepas sebagai hasil pelapukan dari batuan, dimana rongga pori antar partikel terisi oleh udara dan atau air. Akibat pengaruh cuaca dan pengaruh lainnya, tanah mengalami pelapukan sehingga terjadi perubahan ukuran dan bentuk butirannya. Pelapukan batuan dapat disebabkan oleh pelapukan mekanis, kimia dan organis.

Berdasarkan hasil penelitian sebelumnya yang telah dilakukan (Astrianasari, 2017) tentang pengukuran getaran gedung akibat gempa bumi studi kasus Gedung Rektorat UIN Alauddin Makassar. Penelitian tersebut bertujuan untuk membandingkan frekuensi alami pada lantai gedung dengan frekuensi gempa bumi dan membandingkan nilai frekuensi alami pada gedung dengan tanah, hasil pengukuran getaran lantai gedung diperoleh frekuensi alami pada Besar frekuensi alamiah tanah gedung Rektorat UIN Alauddin Makassar adalah pada pengukuran pertama adalah 12,22 Hz dan pengukuran kedua adalah 10,52 Hz kemudian besar frekuensi bangunan gedung Rektorat UIN Alauddin Makassar

adalah pada pengukuran yang pertama frekuensi yang diperoleh adalah 1,73 - 2,51 Hz sedangkan pada pengukuran yang kedua adalah 1,76 Hz - 10,62 Hz. nilai frekuensi gedung lebih kecil dibandingkan dengan nilai frekuensi tanahnya sehingga gedung tidak akan mengalami deformasi.

Dari penelitian sebelumnya di atas yang berkaitan dengan frekuensi gedung, maka telah dilakukan penelitian dengan cara yang sama. Akan tetapi, penelitian yang telah dilakukan adalah daerah yang pernah dikabarkan bangunan RSUD dilantai 8 mengakibatkan kerusakan akibat gempa yang terjadi di Palu (BMKG Wilayah IV Makassar) Jadi untuk penelitian yang telah dilakukan yaitu untuk menentukan frekuensi gedung RSUD Prof. Dr. Anwar Makkatutu Bantaeng menggunakan alat mikrotremor dengan metode *Horizontal to Vertical Spectral Ratio* (HVSr) yang mungkin rentang jika berpengaruh dengan gerakan tanah yang disebabkan oleh adanya aktivitas manusia serta bangunan tersebut di bangun di atas timbunan lautan.

Oleh karena itu, berdasarkan dari semua uraian di atas bahwa telah dilakukan penelitian yang berjudul **“Estimasi Indeks Kerentanan Seismik Berdasarkan Mikrotremor Dengan Metode *Horizontal To Vertical Spectral Ratio* (HVSr) di sekitar RSUD Prof. Dr. H. M. Anwar Makkatutu Bantaeng”**.

1.2 Rumusan Masalah Penelitian

Berdasarkan latar belakang di atas, maka dalam penelitian ini diangkat rumusan masalah sebagai berikut:

1. Seberapa besar frekuensi alamiah tanah gedung RSUD Prof. Dr. H. M. Anwar Makkatutu Bantaeng menggunakan alat mikrotremor dengan metode *Horizontal to Vertical Spectral Ratio* (HVSr)?
2. Seberapa besar nilai indeks kerentanan tanah di sekitaran RSUD Prof. Dr. H. M. Anwar Makkatutu Bantaeng menggunakan alat mikrotremor dengan metode *Horizontal to Vertical Spectral Ratio* (HVSr)?
3. Seberapa besar nilai percepatan tanah di sekitaran RSUD Prof. Dr. Anwar Makkatutu Bantaeng menggunakan alat mikrotremor dengan metode *Horizontal to Vertical Spectral Ratio* (HVSr)?

1.3 Tujuan Penelitian

Tujuan yang dicapai pada penelitian yaitu:

1. Mengetahui besar frekuensi alamiah tanah gedung RSUD Prof. Dr. Anwar Makkatutu Bantaeng menggunakan alat mikrotremor dengan metode *Horizontal to Vertical Spectral Ratio* (HVSr).
2. Menentukan besar nilai indeks kerentanan seismik di sekitaran RSUD Prof. Dr. Anwar Makkatutu Bantaeng menggunakan alat mikrotremor dengan metode *Horizontal to Vertical Spectral Ratio* (HVSr).
3. Mengetahui besar nilai percepatan getaran tanah di sekitaran RSUD Prof. Dr. H. M. Anwar Makkatutu Bantaeng menggunakan alat mikrotremor dengan metode *Horizontal to Vertical Spectral Ratio* (HVSr).

1.4 Ruang Lingkup Penelitian

Berdasarkan latar belakang yang telah dijelaskan, maka ruang lingkup penelitian ini yaitu:

1. Pengukuran di tanah dasar dengan 8 titik pengukuran (4 titik pengukuran berada di tanah timbun, dan 4 titik pengukuran berada pada tanah aslinya).
2. Tanah asli adalah tanah yang berasal bukan dari timbunan yang bagian dari kerak bumi yang tersusun dari mineral dan bahan organik.

1.5 Manfaat Penelitian

Manfaat yang diperoleh dari penelitian ini adalah sebagai berikut:

1. Bagi Masyarakat

Kajian yang ini diharapkan dapat mewakili informasi mengenai kondisi kekuatan bangunan RSUD Prof. Dr. H. M Anwar Makkatutu Bantaeng tersebut sehingga ketika terjadi gempa bumi penghuni di sekitar pantai seruni yang dapat meminimalisir akibat gempa bumi.

2. Pemerintah Pemerintah

Memberikan informasi tentang tingkat kerentanan bangunan khususnya RSUD Prof. Dr. H. M Anwar Makkatutu Bantaeng dan dapat digunakan sebagai acuan bagi pemerintah daerah dalam merancang pembangunan tahan gempa.

BAB II

TINJAUAN TEORETIS

2.1 Indeks Kerentanan Seismik (K_g)

Indeks kerentanan seismik merupakan indeks yang menggambarkan tingkat kerentanan lapisan tanah permukaan terhadap deformasi saat terjadi gempa bumi. Nilai indeks kerentanan seismik diperoleh dengan menggunakan persamaan berikut:

$$K_g = \frac{A_0}{f_0} \quad (2.1)$$

K_g : indeks kerentanan seismik

A_0 : faktor amplifikasi

f_0 : frekuensi dominan (Hz)

Tabel 2.1: Klasifikasi nilai indeks kerentanan seismik.

Zona	Nilai K_g
Rendah	<3
Sedang	3-6
Tinggi	>6

Sumber: (Refrizon, 2013)

2.2 Faktor Amplifikasi (A_0)

Amplifikasi tanah merupakan kontras parameter perambatan gelombang (densitas dan kecepatan) antara batuan dasar (*bedrock*) dan sedimen di atasnya. Nilai amplifikasi perambatan gelombang akan semakin bertambah apabila perbedaan antara kedua parameter tersebut semakin besar. Efek lokal amplifikasi

dan frekuensi natural adalah faktor yang penting dalam mitigasi bencana suatu tempat (Nakamura, 1989).

Cara yang terbaik untuk mencari faktor amplifikasi adalah dengan melakukan pengamatan secara langsung pengaruh dari geologi setempat pada saat mengalami peristiwa gempa. Pengamatan dilakukan dengan mengamati gelombang gempa yang ditangkap di batuan dasar dan di permukaan tanah. Dengan data pencatatan gelombang gempa di batuan dasar dan di permukaan, maka dapat diprediksi besarnya faktor amplifikasi lapisan sedimen pada satu titik pengamatan. Alat yang sering digunakan untuk merekam gelombang gempa yaitu *seismometer*. Untuk menjamin ketelitian perekaman gelombang gempa maka penempatan *seismometer* pada umumnya dilakukan pada titik-titik yang berdekatan dengan sumber gempa (Partono, 2013).

Tabel 2.2: Pembagian zona berdasarkan nilai Amplifikasi

Zona	Amplifikasi	Keterangan
Zona 1	$A_0 < 3$	Amplifikasi Rendah
Zona 2	$3 = A_0 < 6$	Amplifikasi Sedang
Zona 3	$6 = A_0 < 9$	Amplifikasi Tinggi
Zona 4	$A_0 > 9$	Amplifikasi sangat tinggi

Sumber: Setiawan, 2009

2.3 Frekuensi Dominan

Frekuensi didefinisikan secara sederhana sebagai kebalikan dari waktu. Sehingga waktu yang satuannya adalah detik (*second*) akan menjadi Hertz (1-per second) hanya akan memiliki tepat satu nilai spektrum. Yang dikenal dengan spektrum frekuensi. Pengertian frekuensi ini juga berlaku untuk gelombang

monokromatis. Frekuensi dominan adalah nilai frekuensi yang kerap muncul sehingga diakui sebagai nilai frekuensi dari lapisan batuan di wilayah tersebut sehingga nilai frekuensi dapat menunjukkan jenis dan karakteristik batuan tersebut, nilai periode dominan didapatkan berdasarkan perhitungan berikut (Nakamura, 2000).

$$T_0 = \frac{1}{f_0} \quad (2.2)$$

T_0 = Periode dominan (s)

f_0 = Frekuensi dominan (Hz)

Tabel 2.3: Klasifikasi tanah oleh Kanai berdasarkan nilai frekuensi dominan Mikrotremor (modifikasi) (Kanai, 1983).

1981 (Revised)		1950	Kondisi tanah
Klasifikasi	Frekuensi Domain (Hz)	Klasifikasi	
Jenis 1	> 5	Jenis 1	Batuan tersier atau lebih tua. Terdiri dari batuan kerikil pasir keras.
Jenis 2	1,33-5	Jenis 2	Sebagian besar lapisan di luvium atau lapisan aluvium dengan perbandingan ketebalan lapisan keras pada area yang luas. Terdiri dari kerikil, tanah liat dan lempung

1981 (Revised)		1950	Kondisi tanah
Klasifikasi	Frekuensi Domain (Hz)	Klasifikasi	
Jenis 2	1,33-5	Jenis 3	Sebagian besar sangat didominasi oleh lapisan aluvium terdiri dari pasir, tanah liat berpasir dan tanah liat
Jenis 3	< 1,33	Jenis 4	Tanah yang sangat lunak yang terbentuk pada rawa dan lumpur. Terutama lapisan alluvium

Sumber: Kanai, 1983.

2.4 Percepatan Getaran Tanah Maksimum

Percepatan getaran tanah maksimum adalah nilai percepatan getaran tanah terbesar yang pernah terjadi di suatu tempat yang diakibatkan oleh gelombang gempabumi. Nilai percepatan tanah maksimum dihitung berdasarkan magnitude dan jarak sumber gempa yang pernah terjadi terhadap titik perhitungan, serta nilai periode dominan tanah daerah tersebut, Perhitungan untuk nilai percepatan tanah maksimum/*PGA* dapat menggunakan persamaan kanai (1996), yaitu:

$$\alpha_g = \frac{5}{\sqrt{T_0}} = 10^{0.61 M - (1.66 + \frac{3.6}{R}) \log R + 0.167 \frac{1.83}{R}} \quad (2.3)$$

Dengan α_g merupakan percepatan getaran tanah (gal), *M* magnitude gempa, T_0 periode dominan daerah pengukuran (s) dan *R* adalah jarak titik pengukuran dengan sumber gempa (Km) (Steven, dkk 2015).

Tabel 2.4: Skala Intensitas Gempabumi

Skala	Warna	Deskripsi	Deskripsi rincian	Skala	<i>PGA</i> (gal)
SIG		sedehana		MMI	
BMKG					

I	Putih	Tidak dirasakan (<i>Not Felt</i>)	Tidak dirasakan atau dirasakan hanya oleh beberapa orang tetapi terekam alat	I-II	<2,9
II	Hijau	Dirasakan (<i>Felt</i>)	Dirasakan oleh orang banyak tetapi tidak menimbulkan kerusakan. Benda-benda ringan yang digantung bergoyang dan jendela kaca bergetar.	III-V	2,9-88
III	Kuning	Kerusakan ringan (<i>Slight Damage</i>)	Bagian non struktur bangunan mengalami kerusakan ringan, seperti retak rambut pada dinding, atap bergeser ke bawah dan sebagian berjatuhan	VI	89-167
IV	Jingga	Kerusakan sedang (<i>Moderate Damage</i>)	Banyak retakan terjadi pada dinding bangunan sederhana, sebagian roboh, kaca pecah. Sebagian plaster dinding lepas. Hampir sebagian besar atap bergeser ke bawah atau jatuh. Struktur bangunan mengalami kerusakan ringan sampai sedang.	VII-VIII	168-564
V	Merah	Kerusakan berat (<i>Heavy Damage</i>)	Sebagian besar dinding bangunan permanen roboh. Struktur bangunan mengalami kerusakan berat. Rel kereta api melengkung	IX-XII	>564

Sumber: www.bmkg.go.id.

2.5 Pengertian Tanah

Tanah adalah lapisan permukaan bumi yang berasal dari bebatuan yang telah mengalami serangkaian pelapukan oleh gaya-gaya alam, sehingga membentuk regolith (lapisan partikel halus) (Partono, W, 2013).

Segitiga tekstur adalah suatu diagram untuk menentukan kelas-kelas tekstur tanah. Ada 12 kelas tekstur tanah yang dibedakan oleh jumlah presentase ketiga fraksi tanah tersebut, misalkan hasil analisis lab menyatakan bahwa presentase pasir (X) 32%, liat (Y) 42% dan debu (Z) 26%, berdasarkan diagram segitiga tekstur maka tanah tersebut masuk ke dalam golongan tanah bertekstur pasir.

Menurut Hardjowigeno (1992), tekstur tanah merupakan perbandingan antara buti-butir pasir, debu dan liat. Tekstur tanah dikelompokkan 12 tekstur. Kedua belas kelas tekstur dibedakan berdasarkan persentase kandungan pasir, debu dan liat (Arie & Lasut, 2011).

2.6 Jenis-Jenis tanah

1. Tanah Humus

Tanah humus merupakan tanah yang terbentuk dari pelapukan daun dan batang pohon. Tanah humus sangat subur dan sangat cocok untuk digunakan sebagai lahan untuk menanam tanaman. Menurut Shafira Nurlita, (2018). Karakteristik tanah humus adalah sebagai berikut :

- a. Tanah ini berwarna gelap, sangat subur dan gembur.
- b. Memiliki daya serap yang bagus sehingga sangat cocok untuk lahan bagi tumbuhan tanaman.

- c. Terbentuk dari hasil pelapukan bagian tumbuhan seperti daun dan batang.
 - d. Banyak ditemukan daerah yang memiliki iklim tropis.
2. Tanah pasir

Tanah pasir merupakan tanah yang berasal dari batuan beku dan batuan sedimen dimana terdiri atas butiran kasar dan ada juga yang seperti kerikil. Menurut Shafira Nurlita, (2018), adapun ciri-ciri tanah berpasir adalah sebagai berikut:

- a. Mengandung banyak butiran pasir.
 - b. Sangat mudah dalam menyerap air.
 - c. Jarang dijumpai tumbuhan karena tanah pasir sulit untuk ditanami tumbuhan.
 - d. Dimana tanah pasir pada umumnya banyak digunakan untuk bahan bangunan rumah, kantor, tempat beribadah dan lain-lain.
3. Tanah Aluvial

Tanah *aluvial* merupakan tanah yang terbentuk dari pengendapan lumpur sungai dan terletak di dataran rendah. Tanah ini dimana sangat cocok untuk lahan pertanian karena tanah ini juga sangat subur. Tanaman yang dapat di tanam pada jenis tanah tersebut adalah padi, palawija, tebu, kelapa, buah-buahan dan lain-lain. Dapat dijumpai tanah jenis ini di daerah Sumatera bagian timur, Jawa dan Papua. Menurut Shafira Nurlita, (2018), ciri-ciri tanah aluvial adalah sebagai berikut:

- a. Berwarna coklat.

- b. Banyak mengandung mineral sehingga.
 - c. Mudah untuk menyerap air.
 - d. Berbentuk seperti jenis tanah liat.
 - e. Dimana pH tanah dibawah 6.
 - f. Jumlah fosfor dan kalium sangat rendah pada daerah dengan curah hujan rendah.
 - g. Mudah untuk proses pengolahannya sehingga dapat menekan biaya produksi.
 - h. Memiliki tekstur tanah liat.
 - i. Epipedon tanah aluvial tidak memiliki struktur
 - j. Terdiri beberapa bahan induk, seperti tanah aluvial pasir, lempung, kapur, basa dan asam.
4. Tanah Pedzolit

Tanah *podzolit* merupakan tanah yang dimana terdapat di daerah pegunungan yang memiliki curah hujan tinggi serta bersuhu rendah. Pada umumnya tanah ini sangat subur. Tanah jenis ini dijumpai di daerah Sumatera, Jawa Barat, Sulawesi, Kalimantan dan Papua (Shafira Nurlita, (2018).

Pada tanah ini memiliki ciri khas, yaitu mengandung sedikit unsur hara, tidak subur, tanah berwarna merah hingga kuning. Tanah ini dapat dimanfaatkan untuk menanam tanaman seperti jambu mete.

5. Tanah Vulkanis

Tanah vulkanik merupakan tanah yang terbentuk akibat letusan gunung berapi sehingga tanah tersebut sangat subur dan memiliki zat hara yang banyak.

Berikut adalah ciri-ciri tanah vulkanik:

- a. Memiliki unsur hara seperti N, P, K, Fe dan Al. Sumber unsur hara tersebut merupakan lava gunung berapi.
- b. Pada lapisan atas berwarna hitam pekat dan pada lapisan bawah berwarna cokelat, kemerahan dan kuning. Lapisan ini terbentuk dari lava yang berpijar akibat letusan gunung berapi yang telah mengalami pendinginan sehingga terbentuk lapisan yang berwarna-warni.
- c. Struktur tanahnya rentan terhadap erosi.
- d. Sangat bagus digunakan untuk lahan pertanian dan perkebunan karena tanah tersebut mengandung banyak unsur hara.
- e. pH tanah 4 - 7.
- f. Tanah ini bersifat gembur dan mudah untuk menguraikannya.
- g. Tanah ini tersebar di sekitar permukaan pada gunung berapi. Shafira Nurlita, (2018).

2.7 Gempabumi Dalam Perspektif Al-Qur'an

Bencana alam merupakan bencana yang diakibatkan oleh peristiwa atau serangkaian peristiwa yang disebabkan oleh alam (BNPB, 2013). Pergerakan lempeng samudera dan benua dalam bentuk tumbukan dan gesekan menimbulkan beberapa zona subduksi dan patahan permukaan. Pergerakan ini akan membebaskan sejumlah energi yang telah terkumpul sekian lama secara tiba-tiba,

dimana proses pelepasan energi tersebut menimbulkan getaran gempabumi (Alfiani, dkk 2015).

Bencana alam yang disebabkan karena peristiwa alamiah adalah gempabumi. Dampak yang dirasakan untuk manusia juga sangat beragam karena guncangan atau gerakan gempabumi yang besarnya bervariasi akan menimbulkan banyaknya korban jiwa maupun harta, bangunan-bangunan roboh dan fasilitas umum lainnya akan mengalami kerusakan (Aryanti, dkk 2014).

Dalam firman Allah swt QS. QS. Al-Zalzalah/1-6:

إِذَا زُلْزِلَتِ الْأَرْضُ زِلْزَالَهَا ۖ وَأَخْرَجَتِ الْأَرْضُ أَثْقَالَهَا ۗ وَقَالَ الْإِنْسَانُ مَا لَهَا ۚ
 ۓ يَوْمَئِذٍ تُحَدِّثُ أَخْبَارَهَا ۗ بِأَنَّ رَبَّكَ أَوْحَىٰ لَهَا ۗ يَوْمَئِذٍ تُحَدِّثُ أَخْبَارَهَا بِأَنَّ
 رَبَّكَ أَوْحَىٰ ۖ

Terjemahan:

Apabila bumi digoncangkan dengan guncangan (yang dahsyat), dan bumi telah mengeluarkan beban-beban berat (yang dikandungnya), dan manusia bertanya: "Mengapa bumi (menjadi begini)?", pada hari itu bumi menceritakan beritanya, karena Sesungguhnya Tuhanmu telah memerintahkan (yang sedemikian itu) kepadanya. Pada hari itu manusia ke luar dari kuburnya dalam Keadaan bermacam-macam, supaya diperlihatkan kepada mereka (balasan) pekerjaan mereka (Kementerian Agama Republik Indonesia, 2013).

Dalam surah ini, Allah mengabarkan apa yang terjadi pada hari kiamat di mana saat itu bumi bergoncang begitu dahsyatnya dan meruntuhkan segala yang ada di atasnya. Juga akan diterangkan bagaimanakah setiap amalan baik dan jelek akan menuai balasannya.

Al-Hafizh Ibnu Katsir rahimahullah berkata: "Ibnu Abbas berkata:

"Apabila bumi benar-benar digoncang", yaitu: bergoncang dari dasar paling bawah

bumi”. (Tafsir Ibnu Katsir) kita dapat memahami bahwa bumi mengalami guncangan hebat dari inti dasar bumi hingga lapisan luar bumi. Sebuah guncangan dan gempa bumi yang sama sekali belum pernah dirasakan manusia sebelum itu. Ayat yang kedua berbicara tentang peristiwa kiamat setelah tiupan sangkakala yang membangkitkan manusia dari perut bumi. Adapun apa yang dikeluarkan oleh bumi pada ayat ini, bisa dimungkinkan manusia penghuni kubur atau dimungkinkan pada manusia beserta harta yang terpendam di perut bumi. Kalau yang dikeluarkan dari perut bumi adalah manusia, maka itu perkara yang telah diketahui oleh manusia.

Ayat ketiga mengisahkan ucapan manusia ketika bumi bergoncang setelah tiupan yang merusak alam semesta, atau setelah tiupan yang membangkitkan manusia dari kuburnya. Apabila yang dimaksud adalah setelah tiupan yang merusak alam semesta, maka yang mengatakan ucapan “Ada apa dengan bumi ini ?” adalah orang-orang kafir. Sebab, ketika itu yang berada di muka bumi hanyalah orang-orang kafir. Namun apabila yang dimaksud adalah setelah tiupan yang membangkitkan manusia dari alam kubur, maka yang mengatakan ucapan “Ada apa dengan bumi ini ?” adalah orang kafir dan orang yang beriman. Orang kafir mengucapkan kalimat tersebut karena pengingkaran dan keheranan. Sedangkan orang yang beriman mengucapkan kalimat tersebut karena menganggap besar peristiwa tersebut.

Pada ayat keempat sampai dengan terakhir memberitakan bahwa bumi akan menjadi saksi di hadapan Allah atas segala perbuatan manusia, baik perbuatan yang terpuji maupun tercela yang pernah dilakukan di muka bumi. Bumi

merupakan salah satu saksi di akherat kelak yang akan memberitakan segala perbuatan manusia, selain tangan, kaki, kulit manusia itu sendiri atau saksi-saksi yang lain. Ketika itu manusia tidak akan mungkin sedikit pun mengelak dari kenyataan yang dahulu pernah mereka perbuat di hadapan Allah. Bumi dapat menjadi saksi karena Allah memerintahkannya untuk berbicara dengan pembicaraan yang dipahami manusia saat itu. Tidak ada yang mustahil sedikit pun jika Allah menghendaki sesuatu itu terjadi. Sesungguhnya Allah adalah Dzat yang Maha Kuasa atas segala sesuatu. Allah Maha Kuasa untuk menjadikan bumi dapat berbicara dengan pembicaraan yang dipahami manusia ketika itu. Bumi pun tidak akan membangkang ketika diperintah untuk berbicara dan tidak akan berdusta ketika berbicara, karena bumi adalah makhluk Allah yang senantiasa tunduk kepada Allah.

Maknanya adalah manusia bangkit dari kuburnya menuju tempat di bukanya catatan seluruh amalan dan penghisaban (perhitungan) amalan. Mereka berkelompok sesuai jenis amalannya. Orang yang beramal shalih berjalan menjusisi kanan dengan wajah putih berseri-seri dan penuh ketenangan. Adapun orang yang beramal jelek, mereka berjalan menuju sisi kiri dengan wajah hitam legam dan penuh ketakutan.

Manusia sebagai makhluk yang bertempat tinggal di bumi, sudah seharusnya menjaga dan melindungi bumi dari kerusakan. Namun keserakahan dan perlakuan buruk sebagai manusia terhadap alam menjadikan sebagai dari mereka tidak peduli dengan lingkungan dengan seenaknya saja merusak alam tanpa memperhstikan akibatnya . Allah swt berfirman dalam QS Al-Ru`m/30: 41.

ظَهَرَ الْفَسَادُ فِي الْبَرِّ وَالْبَحْرِ بِمَا كَسَبَتْ أَيْدِي النَّاسِ لِيُذِيقَهُمْ بَعْضَ الَّذِي
عَمِلُوا لَعَلَّهُمْ يَرْجِعُونَ ١١

Terjemahannya:

“Telah tampak kerusakan di darat dan di laut, disebabkan karena perbuatan tangan manusia; Allah menghendaki agar mereka merasakan sebagian dari (akibat) perbuatan mereka, agar mereka kembali (ke jalan yang benar).” Menurut tafsir Al-Azhar, ayat tersebut menjelaskan bahwa “telah nyata kerusakan di darat dan di laut dari sebab buatan tangan manusia.” Allah telah mengirimkan manusia ke atas bumi ini ialah untuk menjadi khalifah Allah, yang berarti pelaksana dari kemudahan Tuhan. Banyaklah rahasia kebesaran dan kekuasaan Ilahi menjadi jelas dalam dunia, karena usaha manusia. Sebab itu maka menjadi Khalifah hendaklah mushlih, berarti suka memperbaiki dan memperindah (Kementerian Agama RI, 2013).

Ayat tersebut menjelaskan bahwa Allah ingin mengingatkan kepada manusia bahwa bencana yang terjadi di daratan di lautan merupakan akibat dari ulah manusia. Hal ini menunjukkan bahwa bencana bukan inisiatif dari Allah, seperti menghukum, menguji, maupun memperingatkan umat manusia. Banyak bukti-bukti yang menunjukkan bahwa manusia biang dari bencana yang terjadi, sebagai contoh dengan pengundulan hutan yang berlebihan, perusakan laut dengan mengeksploitasi sumber daya yang ada di lautan yang semuanya untuk memenuhi kepuasan sesaat manusia. Hal ini juga tidak dengan dibarengi upaya untuk menyeimbangkan alam agar ekosistem yang ada berjalan dengan dinamis (Hermeunetik, 2013).

Di ujung ayat disampaikan seruaan agar manusia berfikir:

“Mudah-mudahan mereka kembali.” Artinya kembali itu tentu sangat dalam.

bukan maksudnya mengembalikan jarum sejarah ke belakang. melainkan kembali menilik diri mengoreksi niat, kembali memperbaiki hubungan dengan Tuhan. Jangan hanya ingat akan keuntungan diri sendiri, lalu merugikan orang lain. Jangan

hanya ingat laba sebentar dengan merugikan bersama, tegasnya dengan meninggalkan kerusakan di muka bumi. Dengan ujung ayatnya “mudah-mudahan“, dinampakkanlah bahwa harapan putus (Hamka, 2003: 5534).

Dalam firman Allah swt QS. QS. Al-Zalzalah/7-8:

لَهَا يَوْمَئِذٍ مِثْقَالُ ذَرَّةٍ خَيْرًا يَرَهُ ۗ وَمَنْ يَعْمَلْ مِثْقَالَ ذَرَّةٍ شَرًّا يَرَهُ ۗ^٨

Terjemahan:

Barang siapa yang mengerjakan kebaikan seberat dzarrahpun, niscaya Dia akan melihat (balasan)nya, dan Barang siapa yang mengerjakan kejahatan seberat dzarrahpun, niscaya Dia akan melihat (balasan)nya pula (Kementerian Agama Republik Indonesia, 2013).

At-Tafsir Al-Muyassar Barangsiapa melakukan kebaikan seberat semut kecil, dia akan melihat pahalanya di akhirat. Dan barangsiapa melakukan keburukan seberat semut kecil, dia akan melihat balasannya di akhirat.

Dari ayat tersebut dapat disimpulkan bagaimana kejadian pada saat bumi digoncangkan dengan guncangan yang dahsyat atau bagaimana kejadian gempabumi yang dahsyat terjadi di muka bumi ini sebagai balasan dari perbuatan manusia itu sendiri, yang dimana barang siapa melakukan kejahatan di bumi ini maka akan mendapatkan balasannya di akhirat dan barang siapa mengerjakan kebaikan di bumi ini maka akan mendapatkan balasannya pula di akhirat.

Menurut (Bandul Mustafa, 2010) berdasarkan penyebabnya, gempabumi dikelompokkan sebagai berikut:

a. Gempabumi Tektonik

Gempabumi tektonik merupakan gempa yang di sebabkan oleh pergeseran lempeng tektonik. Lempeng tektonik ini terus bergerak, ada yang saling mendekat saling menjauh, atau saling menggeser secara horizontal. Karena tepian lempeng

yang tidak rata, jika terjadi gesekan, maka timbullah friksi. Friksi kemudian mengakumulasi energi yang kemudian dapat melepaskan energi guncangan menjadi sebuah gempa.

b. Gempabumi Vulkanik

Gempabumi Vulkanik merupakan gempabumi yang terjadi sebagai dampak terjadinya letusan gunung berapi. Gempabumi vulkanik biasanya terjadi sesaat sebelum larva gunung berapi keluar dari dalam perut bumi. Jenis gempabumi vulkanik adalah salah satu jenis gempa yang dapat diprediksi.

c. Gempabumi Runtuhan

Gempabumi runtuhan merupakan gempa lokal yang terjadi apabila suatu gua di daerah topografi *kars* tatau di daerah pertambangan runtuh atau massa batuan yang cukup besar disebuah lereng bukit runtuh/longsor. Kekuatan gempa akibat runtuhan massa batuan ini juga kecil sehingga tidak berbahaya.

d. Gempabumi Buatan

Gempabumi buatan merupakan gempabumi yang terjadi karena ulah manusia baik yang disengaja ataupun yang tidak disengaja. gempabumi buatan dapat terjadi karena adanya aktivitas manusia, penggunaan dinamit, bom, atau pun berbagai macam alatpeledak lainnya. Tidak hanya itu gempabumi buatan juga dapat terjadi tanpa disengaja yaitu ketika ada ledakan dahsyat yang terjadi karena kecelakaan.

Menurut UN-Habitat (2006) selama terjadi gempabumi fondasi bangunan dan tanah dasar bangunan bergerak mengikuti gaya gempa. Sebelum terjadi gempabumi seluruh elemen bangunan akan berada pada posisi awalnya. Saat terjadi

gempabumi tanah dasar bangunan dan lantai satu pada bangunan akan bergerak mengikuti arah gaya gempa. Misalnya, ketika terjadi gempabumi tanah akan bergerak ke kanan, maka bangunan akan bergerak ke arah yang berlawanan dengan arah gerakan tanah. Dan setelah gempabumi terjadi sebagian elemen bangunan yang memiliki konstruksi lemah akan mengalami kerusakan yang disebabkan bangunan memiliki daya tahan dan penyerapan energi yang rendah (Lulie & Hatmoko, 2017).

Menurut Coburn dan Spence (2002), penyebab utama terjadinya kerusakan pada bangunan adalah getaran pada tanah dasar bangunan. Ketika sebuah bangunan digerakkan oleh sebuah gaya inersia yang bekerja pada gaya tersebut maka percepatan getaran bangunan akan meningkat. Faktor yang sangat menentukan respon dinamik bangunan terhadap getaran adalah frekuensi alami bangunan (Lulie & Hatmoko, 2017).

Jika sebuah bangunan bergetar yang diakibatkan getaran tanah, responnya akan bergantung pada hubungan antara frekuensi getaran pada tanah dasar bangunan dan frekuensi alami bangunan. Jika frekuensi alami bangunan lebih kecil dari pada frekuensi alami tanah, maka bangunan tidak akan mengalami deformasi, dan jika frekuensi getaran tanah meningkat, maka deformasi bangunan juga akan meningkat. Apabila kedua frekuensi tersebut sama, maka deformasi bangunan akan mencapai puncaknya. Fenomena ini disebut resonansi. Untuk mengetahui kualitas sebuah bangunan salah satunya adalah mengetahui nilai frekuensi alami yang dimilikinya. Salah satu usaha dalam perencanaan bangunan tahan gempa sebaiknya mempertimbangkan adanya kemungkinan terjadinya resonansi getaran dengan

melakukan pemeriksaan frekuensi alami gedung dan tanah dasar gedung tersebut dengan melakukan pengukuran mikrotremor (Lulie & Hatmoko, 2017).

2.8 Mikrotremor

Mikrotremor merupakan getaran tanah yang pada umumnya mempunyai sifat tetap memiliki magnitudo yang kecil. Mikrotremor biasa berupa getaran akibat aktivitas manusia maupun aktivitas lain, seperti contohnya getaran akibat orang berjalan, getaran akibat dari kendaraan, getaran mesin-mesin pabrik, getaran angin, gelombang laut, atau getaran alamiah lainnya (Juan Pandu GNR, 2017).

Semakin kecil periode dominan tanah maka dimana tingkat kekerasannya semakin besar atau tanah yang mempunyai periode dominan semakin besar semakin lunak atau lembek sifatnya. Mikrotremor adalah getaran lemah dipermukaan bumi yang berlangsung terus menerus akibat adanya sumber getaran seperti gempa bumi, aktivitas manusia, industri dan lalu lintas (Daryono, 2009).

2.9 Gelombang pada HVSR Mikrotremor

Nakamura (1989) mengembangkan konsep HVSR dengan asumsi mikrotremor didominasi oleh gelombang geser dan mengabaikan gelombang permukaan (gelombang *Rayleigh* dan *Love*). HVSR dianggap sama dengan fungsi transfer antara getaran gelombang pada sedimen dan bedrock. Artinya, amplitude dan frekuensi peak HVSR merepresentasikan amplifikasi dan frekuensi setempat (Sungkono & Santosa, 2011).

Keuntungan utama dari metode HVSR adalah pengukuran sederhana dan biaya rendah, yang dapat dilakukan kapan saja dan di mana saja. Estimasi langsung frekuensi resonansi sedimen tanpa perlu mengetahui struktur geologi dan *S-wave*

tanah di bawahnya (Hernanti, 2014).

Mikrotremor dapat digunakan untuk perancangan bangunan tahan gempa, yakni dengan mengetahui periode natural dari tanah setempat untuk menghindari terjadinya resonansi. Mikrotremor juga digunakan untuk mengetahui jenis tanah berdasarkan tingkat kekerasannya. Dimana semakin kecil periode dominan tanah maka tingkat kekerasannya semakin besar atau tanah yang mempunyai periode dominan semakin besarsemakin lunak atau lembek sifatnya.

Data mikrotremor yang terukur terdapat 3 sinyal yang komponennya adalah komponen vertikal (*Up and Down*), horizontal (*North-South*), dan horizontal (*East-West*). Setelah didapatkan sinyal kemudian dapat dianalisis menggunakan metode HVSR dan didapatkan nilai frekuensi dominan dan amplifikasi. Metode HVSR ini mampu membandingkan antara rasio spectrum dari sinyal mikrotremor komponen horizontal terhadap komponen vertikalnya (Nakamura, 1989).

2.10 Aplikasi Mikrotremor

Belakangan ini aplikasi Mikrotremor digunakan untuk mengidentifikasi resonansi frekuensi natural bangunan dan tanah (Mucciarelli et al., 2001; Gallipoliet al., 2004). Salah satu metode yang digunakan untuk mengetahui karakteristik bangunan tanpa merusak bangunan tersebut adalah analisis mikrotremor yang direkam pada setiap lantai bangunan. Sehingga dapat dikatakan bahwa mikrotremor didasarkan pada perekaman untuk menentukan parameter karakteristik dinamis suatu bangunan (rasio redaman, frekuensi alami primer) dan fungsi perpindahan (amplifikasi dan frekuensi) bangunan, dan pengukuran mikrotremor sudah menjadi metode populer untuk menentukan dinamika sifat

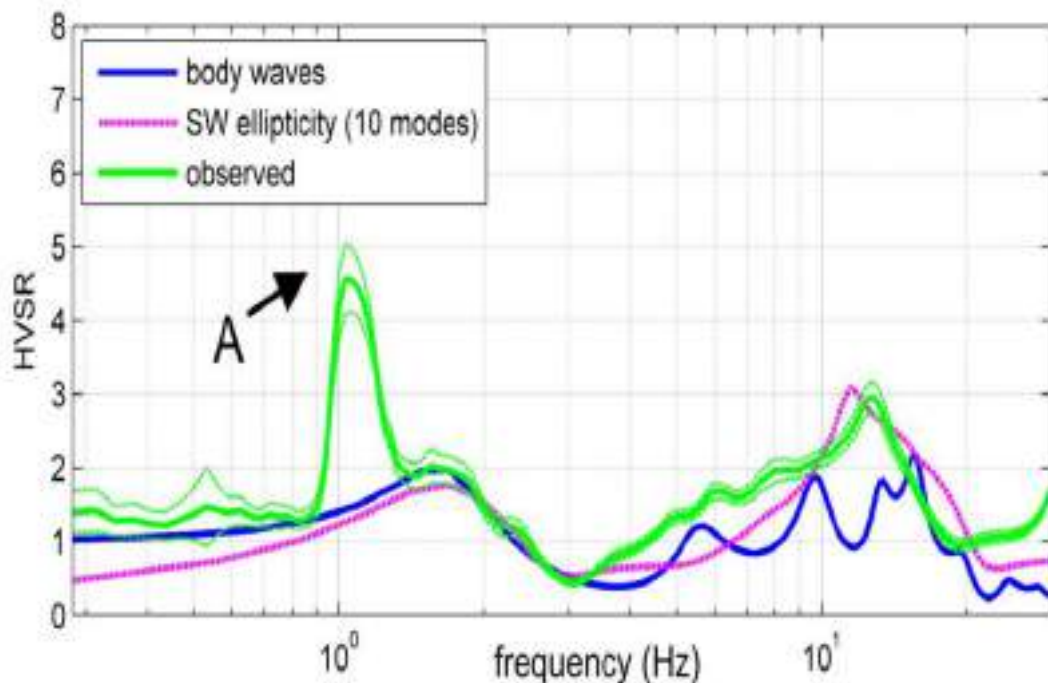
lapisan tanah dan secara ekstensif dipakai untuk mikrozonasi. Pengukuran mikrotremor mudah dilakukan, murah dan bisa dipakai pada tempat yang seismisitasnya rendah (Lulie & Hatmoko, 2017).

Teknik pengolahan gelombang mikrotremor ini dipopulerkan oleh Nakamura (1989). Teknik HVSR merupakan teknik sederhana yang dapat menggambarkan karakteristik dinamis tanah maupun struktur *rasio spectral* dari H/V merupakan estimasi rasio antara spektrum amplitudo komponen horizontal dan vertikal dari suatu getaran. *Spectrum H/V* akan menunjukkan frekuensi resonansi/frekuensi dasar (f_0) dan nilai puncak HVSR (A).

Metode analisis HVSR yang dikembangkan oleh Nakamura (1989) menghitung rasio spektrum *Fourier* dari sinyal mikrotremor komponen horizontal terhadap komponen vertikalnya. Hasil analisis HVSR menunjukkan satu puncak spektrum pada frekuensi dominan. Frekuensi dominan (f_0) dan factor amplifikasi (A) yang menggambarkan karakteristik dinamis tanah dapat dihasilkan dari analisis HVSR (Nakamura, 2000).

Dal Moro (2010c) memaparkan bahwa dengan menggunakan pendekatan gelombang badan (Herak, 2008), frekuensi dasar lebih tepat dari pada gelombang permukaan. Dal Moro (2010a; 2010c) juga menjelaskan bahwa pada frekuensi tinggi, kurva observasi HVSR terkadang terdapat puncak (Gambar 2.1). Hal ini menunjukkan bahwa kurva HVS Observasi pada frekuensi tinggi terdapat sumbu gelombang permukaan. Selain itu, pada frekuensi rendah, kondisi angin dan cuaca dapat mempengaruhi HVSR (Ali, et al., 2010) dan *noise* lingkungan juga turut berperan dalam mempengaruhi puncak frekuensi rendah (Parolai, et al.,

2004), sebagaimana gambar 2.1 Ini didukung oleh Oliviera et al.(2006), yang mengatakan bahwa amplifikasi atau puncak kurva HVSR dapat lebih dari satu, dan



amplifikasi pada frekuensi tinggi patut untuk dipertimbangkan.

Gambar 2.1 Perbandingan kurva HVSR. HVSR pengukuran, permodelan dengan basis Gelombang badan dan Gelombang Permukaan M ode dasar sampai Mode ke-9 (Dal Moro, 2010).

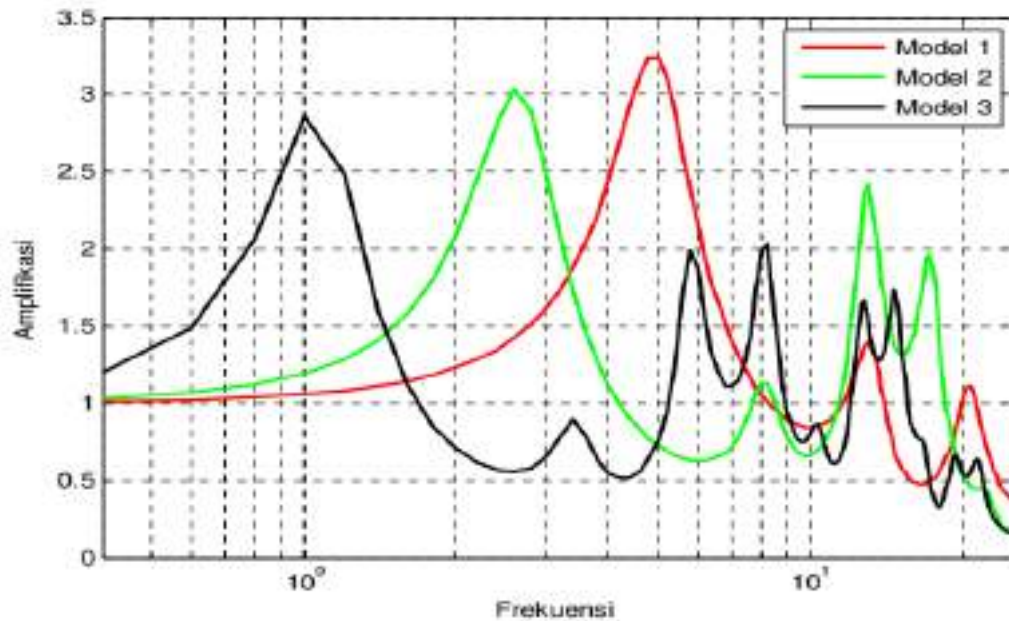
Untuk mengetahui pendekatan yang tepat (antara gelombang badan dan gelombang permukaan) pada kurva HVSR, maka perlu dilakukan simulasi numerik dengan menggunakan software Model HVSR (Herak, 2008) dan mikrotremor (Lunedei dan Albarello, 2009). Model HVSR berbasis gelombang badan, sedangkan microtrem berbasis multi mode gelombang permukaan (Rayleigh dan Love) dan keduanya berbasis viskoelastis. Hasil simulasi ini, seperti pada gambar 2.1. Berdasarkan gambar ini, diketahui frekuensi natural dan amplifikasi

gelombang badan lebih kecil jika dibandingkan dengan gelombang permukaan (Sungkono & Santosa, 2011).

2.11 Mikrotremor Pada Tanah

Pada analisis data mikrotremor telah digunakan Teknik HVSR (*Horizontal to Vertical Spectral Ratio*) secara luas untuk studi efek lokal dan mikrozonasi (Warnana, et al., 2011). Selain sederhana dan bisa dilakukan kapan dan dimana saja, teknik ini juga mampu mengestimasi frekuensi resonansi secara langsung tanpa harus mengetahui struktur kecepatangelombang geser dan kondisi geologi bawah permukaan lebih dulu. Nakamura et al (2000) menyebutkan bahwa metode HVSR untuk analisis mikrotremor bisa digunakan untuk memperoleh frekuensi natural sedimen.

Penggunaan mikrotremor sendiri telah banyak dilakukan untuk mengidentifikasi resonansi frekuensi dasar bangunan dan struktur tanah di bawahnya. Parameter penting yang dihasilkan dari metode HVSR adalah frekuensi natural dan amplifikasi. HVSR yang terukur pada tanah bertujuan untuk karakterisasi geologi setempat, frekuensi natural dan amplifikasi yang berkaitan dengan parameter fisik bawah permukaan (Herak, 2008). Sedangkan HVSR yang terukur pada bangunan berkaitan dengan kekuatan bangunan (Nakamura et al., 2000) dan keseimbangan bangunan (Lulie & Hatmoko, 2017).



Gambar 2.2 Perbandingan HVSR model variasi ketebalan lapisan

(Sumber: Sungkono, 2011)

Efek variasi ketebalan lapisan terhadap kurva HVSR diketahui dengan cara memodelkan kurva HVSR dengan input bervariasi ketebalan lapisan dan parameter yang lainnya konstan. Hasil permodelan ini, sangat nampak pada gambar 2.2 Berdasarkan gambar ini, diketahui bahwa ketebalan lapisan, yang berefek pada kedalaman *bedrock*, berpengaruh pada perbedaan frekuensi puncak kurva HVSR (frekuensi natural). Dan puncak kurva HVSR juga berbeda, walaupun perbedaannya relatif kecil. Mengidentifikasi bahwa, ketebalan lapisan berpengaruh pada frekuensi natural dan nilai amplifikasi. Selain itu, kedalaman *bedrock* berbanding terbalik dengan frekuensi natural (Sungkono & Santosa, 2011).

Teknik perbandingan spektra gelombang komponen horizontal terhadap vertical (*Horizontal to Vertical Spectral Ratio*) dari *noise* gelombang seismik dapat digunakan untuk memperkirakan kedalaman *bedrock* secara cepat. Metode H/V berguna untuk menunjukkan frekuensi resonansi dominan (f_0) dan nilai puncak

HVSR (A), yang mempresentasikan karakteristik dinamis lapisan sedimen. Sumber-sumber gelombang non-alamiah di permukaan cenderung memicu gelombang *Rayleigh* yang merambat pada lapisan *soil*/sedimen lunak. Gelombang *Rayleigh* tersebut mempengaruhi baik komponen horizontal maupun vertikal dipermukaan, tetapi hampir tidak mempengaruhi komponen gelombang pada batuan dasar, sehingga efek penguatan gelombang pada komponen horizontal dapat dinyatakan oleh persamaan 2.2 berikut:

$$SE = (\omega) = \frac{HS(\omega)}{HB(\omega)} \quad (2.4)$$

Keterangan:

$SE(\omega)$ = spektrum penguatan horizontal

$HS(\omega)$ = spektrum mikrotremor komponen horizontal di permukaan

$HB(\omega)$ = spektrum mikrotremor komponen horizontal di batuan dasar.

Penguatan gelombang pada komponen vertikal dapat dinyatakan sebagai rasio spektrum komponen vertikal di permukaan dan di batuan dasar (persamaan 2.5) yaitu:

$$AS = (\omega) = \frac{VS(\omega)}{VB(\omega)} \quad (2.5)$$

Keterangan:

$AS(\omega)$ = spektrum penguatan vertikal

$VS(\omega)$ = spektrum mikrotremor komponen vertikal di permukaan

$VB(\omega)$ = spektrum mikrotremor komponen vertikal di batuan dasar

Untuk mereduksi efek sumber, maka spektrum penguatan horizontal $SE(\omega)$ dilakukan normalisasi terhadap spektrum sumber $AS(\omega)$ (persamaan 2.4 dan 2.5) yaitu:

$$SM(\omega) = \frac{SE(\omega)}{AS(\omega)} \left[\frac{HS(\omega)/VS(\omega)}{HB(\omega)/VB(\omega)} \right] \quad (2.6)$$

Dimana, $SM(\omega)$ adalah fungsi transfer untuk lapisan soil.

$$\text{Jika, } \frac{HB(\omega)}{VB(\omega)} = 1$$

Maka,

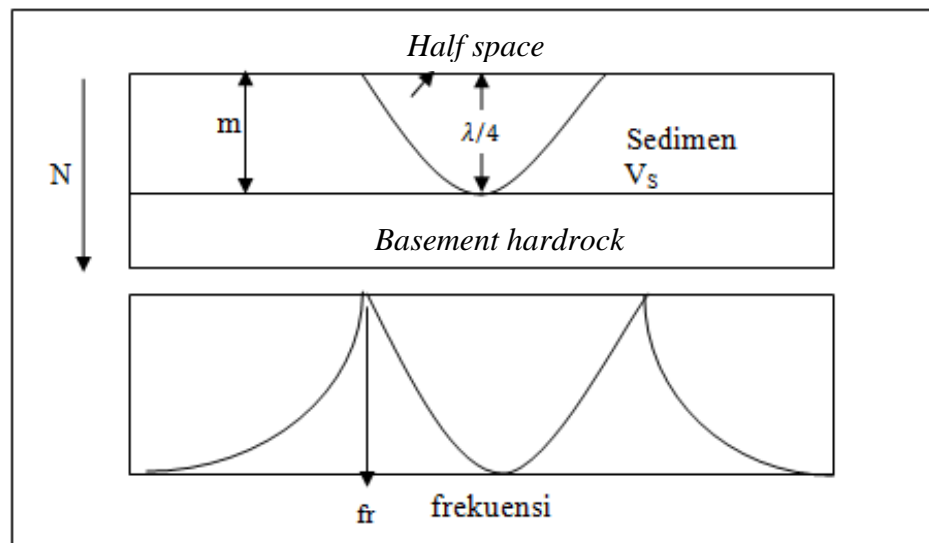
$$SM(\omega) = \frac{HS(\omega)}{VS(\omega)} \quad (2.7)$$

Dalam pengamatan di lapangan ada dua komponen horizontal yang diukur yaitu komponen utara-selatan dan komponen barat-timur, sehingga persamaan 2.7 berubah menjadi:

$$SM(\omega) = \frac{\sqrt{HSN(\omega)^2 + HWE(\omega)^2}}{VS} \quad (2.8)$$

$HSN(\omega)$ adalah spektrum mikrotremor komponen horizontal utara-selatan. $HWE(\omega)$ adalah spektrum mikrotremor komponen barat-timur.

Umumnya daerah yang rawan kerusakan bangunan akibat gempa bumi terjadi pada daerah sedimen lunak (misal: pasir, pasir lanauan, gambut) yang tebal atau sedimen lapuk yang terdapat di atas batuan yang keras. Prinsip dasar hubungan antara resipin lokasi (frekuensi resonansi) dan ketebalan sedimen dapat dijelaskan melalui sebuah model dua lapisan yang sederhana. Prinsipnya dapat dilihat pada gambar 2.3.



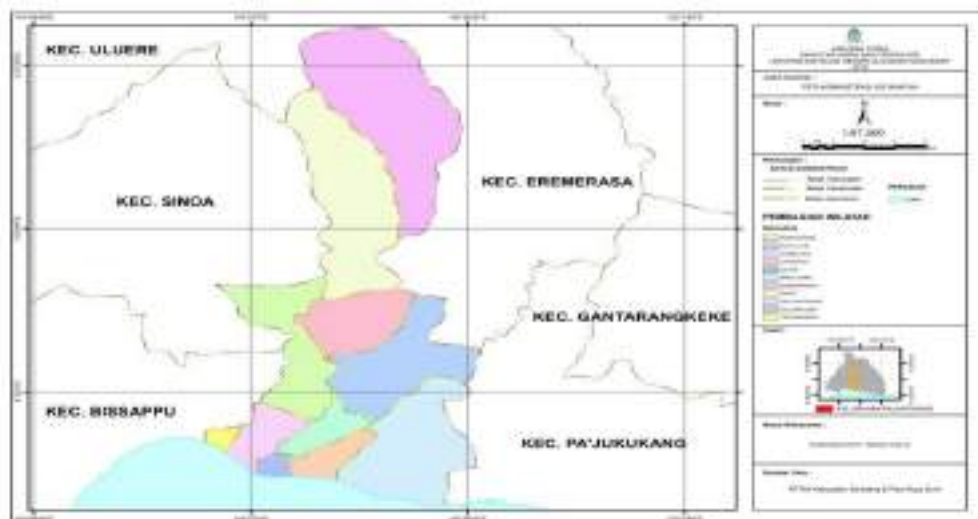
Gambar 2.3 Prinsip dasar respon lokasi mikrotremor

Sebuah *basement hardrock* yang ditutupi oleh sedimen dengan ketebalan m dan kecepatan gelombang geser V_s . Frekuensi resonansi dari sistem terdapat pada lapisan yang ketebalannya merupakan $\lambda/4$ atau biasa disebut lapisan *half-space*. Hal ini menyebabkan karena pada ketebalan $\lambda/4$ terjadi amplitudo maksimum, maka akan terperangkapnya getaran gelombang geser (gelombang SH) pada medium sedimen di atas *bedrock*.

2.12 Kondisi Tanah Kabupaten Bantaeng

Tanah Kabupaten Bantaeng banyak mengandung Fosfor (P) dan Kalium (K), yang disebabkan kondisi tanah dan geologi bantaeng berupa bentang lahan (*landform*) yang dipengaruhi oleh aktivitas vulkanik dari Gunung Lompobattang sejak ribuan tahun lalu. *Landform* utama kabupaten Bantaeng adalah *landform vulkan*, kaki vulkan dan dataran vulkan. *Landform alluvium* juga terdapat di kabupaten Bantaeng, di sekitar garis pantai, tetapi

luasnya lebih sempit. *Landform alluvium* ini terbentuk dari endapan pantai dan sungai yang bermuara ke laut. Adanya aktifitas vulkanik menyebabkan wilayah kabupaten Bantaeng memiliki komposit geologis umumnya terbentuk dari batuan yang berasosiasi dengan batuan *vulkan*, misalnya petroklasik, kelompok basal, breksi laharik dan sedikit alluvium. Batuan petroklasik terdapat di bagian Utara dengan luas sekitar 2738 ha di kecamatan Uluere, 648 ha di kecamatan Tompobulu dan 88 ha di kecamatan Eremerasa. Sesuai dengan landformnya, batuan *alluvium* terdapat di sekitar garis pantai dengan luas areal hanya sekitar 209 ha (Wikipedia, 2017).



Gambar 2.4 Peta Kabupaten Bantaeng

Kabupaten bantaeng adalah sebuah kabupaten di Sulawesi Selatan yang memiliki luas wilayah 395,83 km² dan populasi ± 150.000 jiwa. Adapun batas-batas wilayah yaitu:

Sebelah Utara : Kabupaten gowa dan Kabupaten Bulukumba

Sebelah Selatan : Laut Flores

Sebelah Timur : Kabupaten Bulukumba

Sebelah Barat : Kabupaten Jeneponto

Kabupaten Bantaeng berjarak 125 km ke arah selatan dari ibu kota Provinsi Sulawesi Selatan. Terbagi atas 8 kecamatan serta 46 desa dan 21 kelurahan. Secara geografis Bantaeng terletak pada koordinat $5^{\circ} 21' 13''$ sampai $5^{\circ} 25' 26''$ Lintang Selatan dan $119^{\circ} 51' 42''$ sampai $120^{\circ} 05' 27''$ Bujur Timur. Sedangkan kondisi geologi yang terdapat di kabupaten Bantaeng yakni tergolong dalam 6 (enam) satuan jenis batuan yakni satuan Tufa, satuan Breksi Lahar, satuan Lava Basal, satuan Agglomerat, satuan Intrusi Andesit, dan endapan Aluvial, untuk daerah di pantai seruni tepatnya bangunan RSUD Bantaeng adalah jenis tanah Aluvial (tanah lunak).

BAB III

METODE PENELITIAN

3.1 Waktu dan Tempat Penelitian

Penelitian ini dilaksanakan pada bulan Februari-Mei 2019 bertempat di RSUD Prof. Dr. H. M. Anwar Makkatutu Bantaeng Jl. Teratai kelurahan Pallantikang kecamatan Bantaeng kabupaten Bantaeng provinsi Sulawesi Selatan.



Gambar 3.1. Peta Lokasi Penelitian

3.2 Alat dan Bahan

Alat yang digunakan pada penelitian ini adalah sebagai berikut:

- a. Digitaizer.



Gambar 3.2: Digitaizer.

- b. GPS antenna.



Gambar 3.3: GPS antenna

- c. Seismometer TDL 303S.



Gambar 3.4: Seismometer TDL 303S.

- d. GPS (*Global Positioning System*).



Gambar 3.5: GPS (*Global Positioning System*).

- e. Laptop



Gambar 3.6: Laptop.

- f. Kabel



Gambar 3.7: Kabel.

- g. *Software Geopsy metode HVSR (Horizontal Vertical Spectrium Ratio).*
- h. *Software ArcGis.*
- i. *Software Microsoft Excel.*
- j. *Software Surfer13.*
- k. Alat tulis menulis.

Bahan yang digunakan pada penelitian ini adalah sebagai berikut

- a. Peta Lokasi



Gambar 3.8: Peta Lokasi Kecamatan Pallantikang

- b. Peta Geologi.
- c. Tanah sekitar RSUD Prof.Dr.H.M. Anwar Makkatutu Bantaeng.

3.3 Prosedur Kerja

Prosedur kerja yang telah diteliti adalah sebagai berikut:

3.3.1 Pengoperasian alat

Proses pengoperasian alat mikrotremor yang dimana menyiapkan peralatan seperti satu buah Digital Portable Seismometer tipe TDL-303 S (3 komponen) dengan frekuensi sampling 100 Hz selama 30 menit di tanah sekitar RSUD Bantaeng, dilengkapi digitizer, kabel, GPS antena, GPS (*Global Position Sistem*), laptop, sistem akuisisi data. Selanjutnya memenuhi beberapa persyaratan teknis survei mikrotremor menurut *Sesame European Research Project* (2004).

3.3.2 Tahap Pengukuran Mikrotremor

Prosedur pengukuran mikrotremor adalah sebagai berikut:

1. Melakukan pengukuran mikrotremor pada proses pengambilan data mikrotremor dengan diterapkan kaidah mikrotremor yang sesuai dengan SESAME dengan durasi pengukuran selama 30 menit pada interval sampling 100 Hz.
2. Meletakkan seismometer di atas tanah yang mengandung tanah yang keras dan datar, jika dalam keadaan kurang datar atau gembur maka diberikan landasan pada pengukuran.
3. Mengatur posisi seismometer agar menghadap ke barat geografis, dengan melihat seismometer yang telah dipasangkan besi, dengan memakai kompas sebagai titik acuannya.
4. Ketiga kaki seismometer dapat diberi landasan yang telah tersedia, kemudian mengatur kaki-kaki tersebut dengan memutar kekiri ataupun kekanan menyesuaikan posisi gelombang air supaya tepat di tengah-tengah (*leveling*) jika sudah, berarti posisi alat rata dengan tanah.
5. Menghubungkan masing-masing kabel konektor dengan instrumen seismograf (Seismometer, GPS, *digitizer*, laptop) sesuai dengan fungsinya masing masing.
6. Meletakkan GPS di tempat yang terbuka tidak terhalang dengan sesuatu supaya langsung terhubung dengan satelit.
7. Menghidupkan digitizer dengan menekan tombol ON, perhatikan power diusahakan keluaran tegangan stabil 12 volt.

8. Menunggu beberapa menit perhatikan lampu indikator GPS ketika berwarna hijau di laptop maka pertanda GPS sudah berfungsi dengan baik, namun apabila masih biru maka periksa kabel konektor dan keadaan lingkungan barangkali ada yang menghalangi dari jangkauan satelit.
9. Mencatat data-data yang diperlukan pada format SESAME (koordinat *latitude*, dan *longitude*), nama titik pengukuran, nama lokasi, waktu pengambilan data dan keadaan sekitar titik penelitian.
10. Data yang diperoleh dari mikrotremor dibuka menggunakan *software* Datapro yang merupakan program dari alat seismometer TDS.
11. Hasil pengukuran tercatat dalam tiga jenis gelombang yaitu gelombang seismik vertikal, horizontal (utara-selatan) dan horizontal (barat-timur).

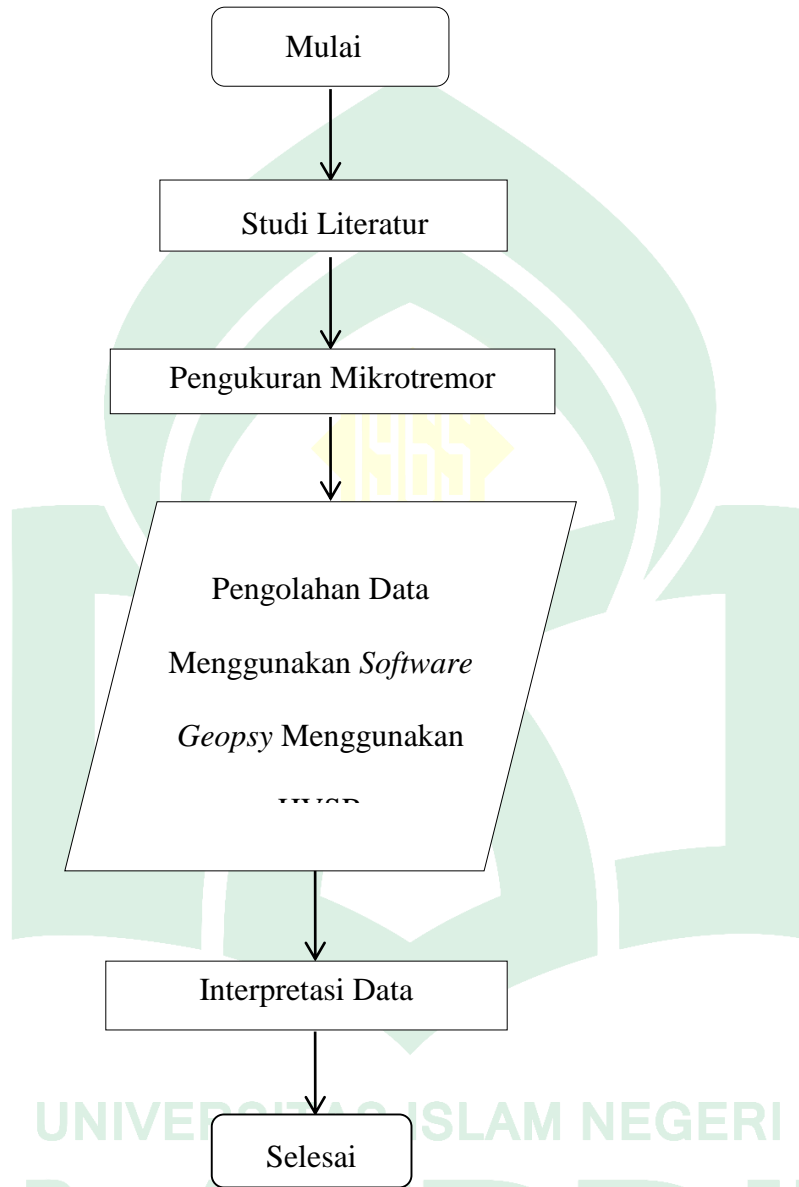
3.3.3 Tahap Pengolahan Data

Peralatan yang digunakan dalam penelitian ini berupa perangkat lunak dan perangkat keras:

1. Perangkat lunak yang digunakan sebagai saat pengolahan data adalah *software Geopsy* digunakan untuk menganalisis data mikrotremor dengan melakukan cut gelombang yaitu:
 - a. Membuka aplikasi *software Geopshy*.
 - b. Mengklik import signals, lalu cari file penyimpanan data titik-titik.
 - c. pengukuran yang telah disave dalam bentuk MSD, kemudian mengklik open.
 - d. Kemudian muncullah kotak grafik hasil frekuensi dominan dan amplifikasi.

- e. Mengklik kotak H/V pada *toolbar*, maka muncul H/V *toolbox*, mengklik *remove* kemudian pada kotak grafik dengan memilih window yang *noisanya* sedikit.
 - f. Mengklik start maka akan muncul grafik dari hasil yang diremove.
2. *Surfer 13* yang berfungsi untuk membuat pemodelan sebaran nilai f_0 (frekuensi dominan), K_g (indeks kerentanan) dan PGA (percepatan getaran tanah), yaitu:
- a. Membuka *Surfer13*.
 - b. Memilih file → new → *worksheet* → lalu masukkan data yang akan dibuat, data pilih kolom x untuk *longitude*, y untuk latitude, kolom z untuk variabel frekuensi dominan (f_0). Setelah itu, memilih file. Lalu save dalam bentuk (*.bln).
 - c. dengan memilih → file → new plot. Lalu pilih → *Grid* data dengan mencari data yang sudah tersimpan dalam format (*.bln) sebelumnya, *open*, lalu muncul *grid* data, pilih Ok, kemudian mengklik *save* untuk menyimpan.
 - d. Mengklik map → new → *new contour*.
 - e. Pada property manager dengan mengklik general kemudian memilih color (warna sesuai yang diinginkan).
 - f. Setelah itu menyimpan.
 - g. Langkah untuk membuat peta (K_g) dan percepatan getaran tanah/ PGA sama dengan seperti langkah pa
 - h. da membuat peta frekuensi dominan (f_0).

3.4 Diagram Alir Penelitian



Gambar 3.9: Diagram Alir Penelitian.

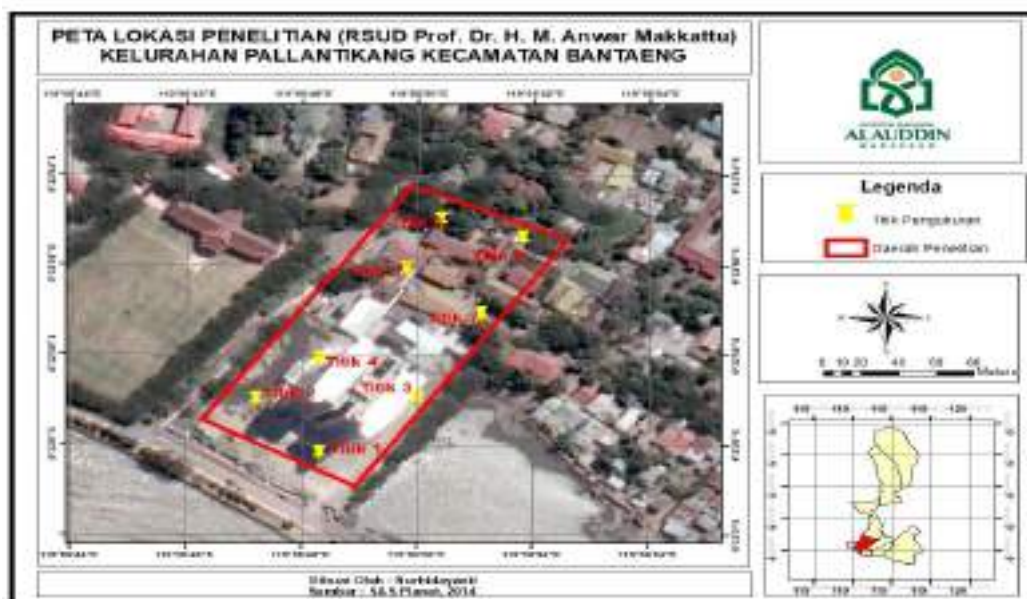
BAB IV

HASIL DAN PEMBAHASAN

4.1 Hasil Penelitian

Penelitian ini dilakukan pada tanah gedung RSUD Prof. Dr. H. Anwar Makkattu Bantaeng dengan 8 titik pengukuran, dimana 4 titik pengukuran berada di tanah timbunan tepat di atas pembangunan RSUD Bantaeng dan 4 titik pengukuran lagi berada di tanah asli tepatnya rumah sakit yang lama telah di bangun, pengambilan data dimulai waktu malam hari agar mengurangi *noise* dari keramaian sekitar RSUD dan aktivitas di pantai seruni, Pengukuran ini dimulai tanggal 18 Maret-19 Maret, pukul 11.24 sampai 05.49 wita.

Berikut ini informasi detail tentang lokasi pengukuran dengan 8 titik dimana titik pengukuran 1-4 berada di tanah timbunan, kemudian titik pengukuran 5-8 berada di tanah asli.



Gambar 4.1: Peta Lokasi Penelitian

4.2 Hasil Pengukuran Mikrotremor.

Tabel 4.1: Hasil pengukuran mikrotremor untuk frekuensi dominan.

Titik	Fo
1	1,62955
2	1,58443
3	1,60816
4	1,5775
5	5,54257
6	4,70401
7	5,34054
8	4,70401

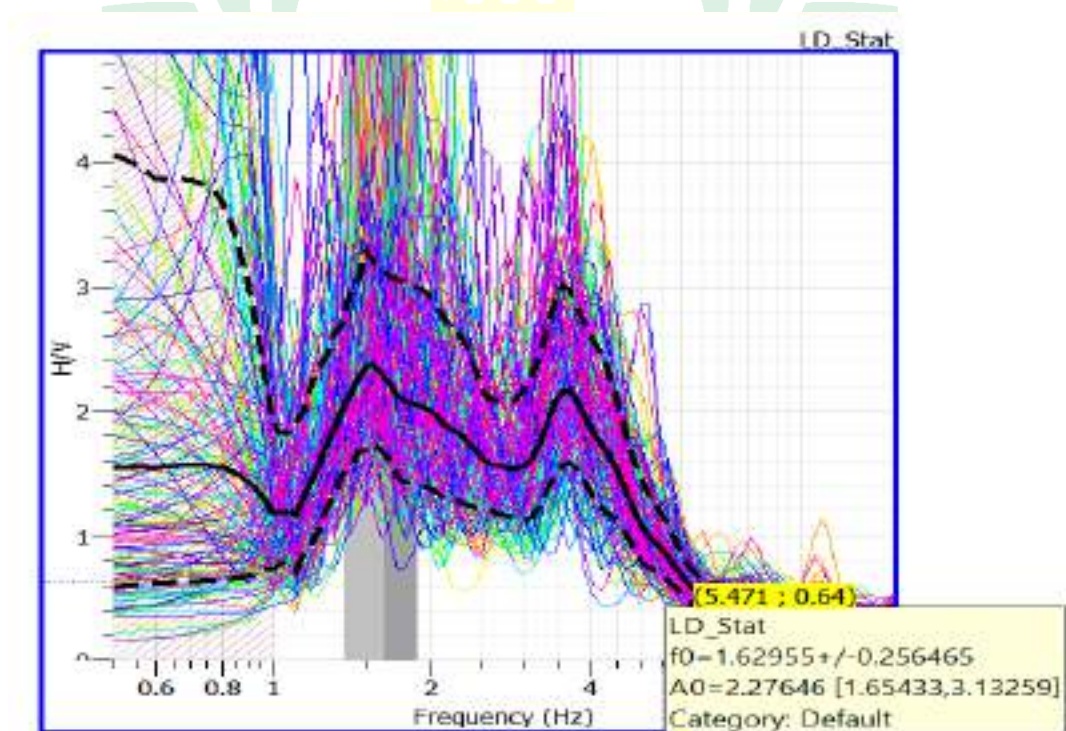
Tabel 4.2: Hasil pengukuran mikrotremor untuk amplifikasi.

Titik	Ao
1	2,27646
2	2,97459
3	2,49822
4	2,91005
5	3,95427
6	3,88503
7	4,25433
8	4,70401

4.3 Analisis Frekuensi Alamiah Tanah (f_{tanah})

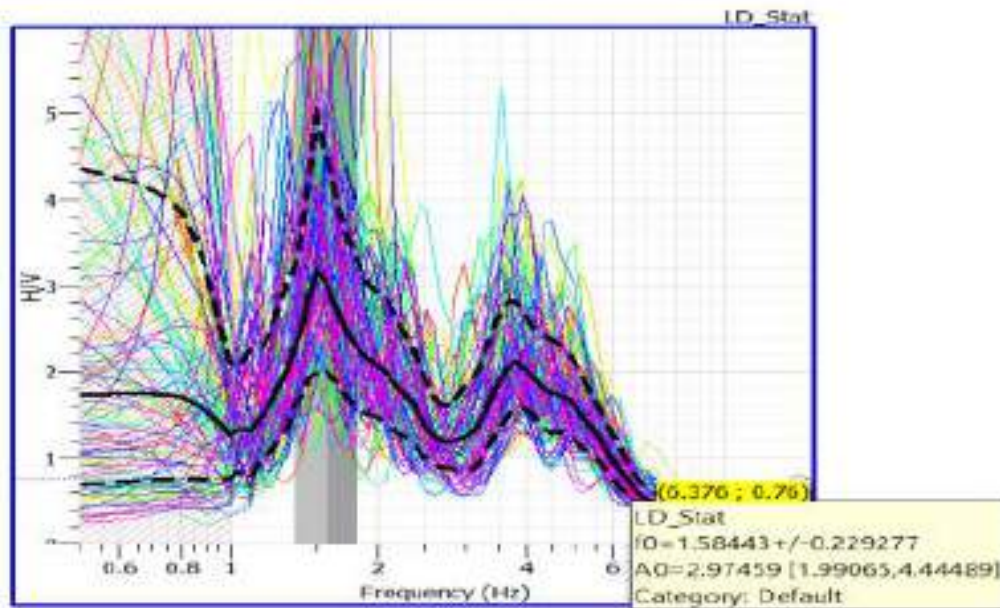
Pada penentuan frekuensi alamiah dilakukan dengan perbandingan antara tanah timbunan dengan tanah asli dimana 8 titik pengukuran, dengan jarak titik pengambilan data 50 meter. Pengambilan data dilakukan selama 30 menit tiap pengukuran dengan frekuensi sampling 100 Hz.

Dari hasil pengolahan data pada *Software Geopshy* diperoleh frekuensi (f) dan faktor amplifikasi (A_0) dengan memilih kurva H/V. Berikut grafik hasil pengolahan data dari *software geopshy*:

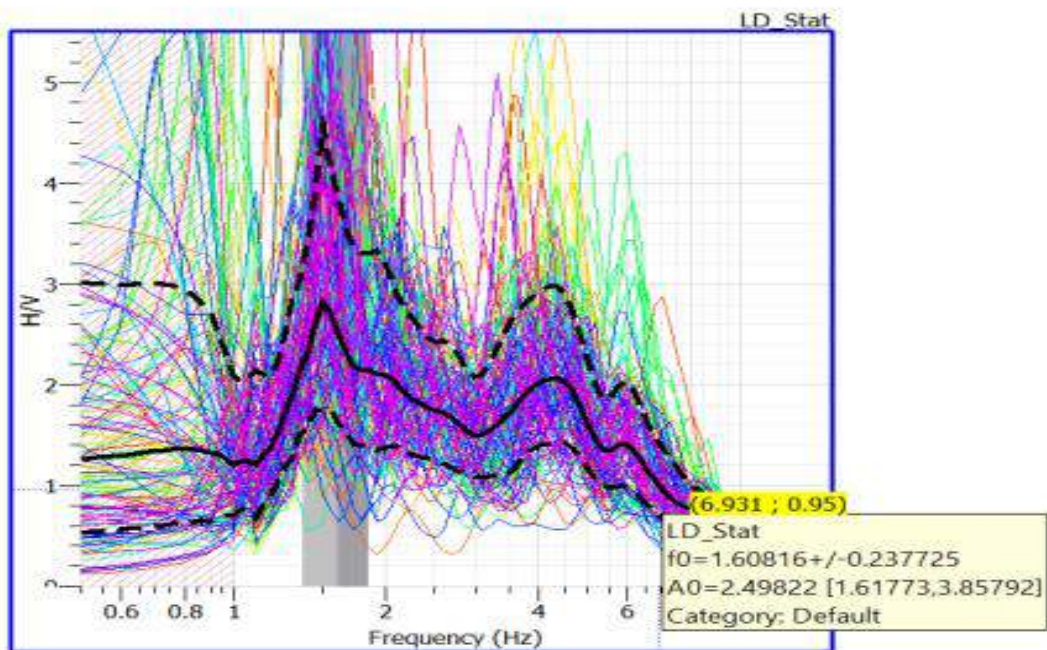


Gambar 4.2: Grafik hasil pengukuran data pertama di tanah timbunan

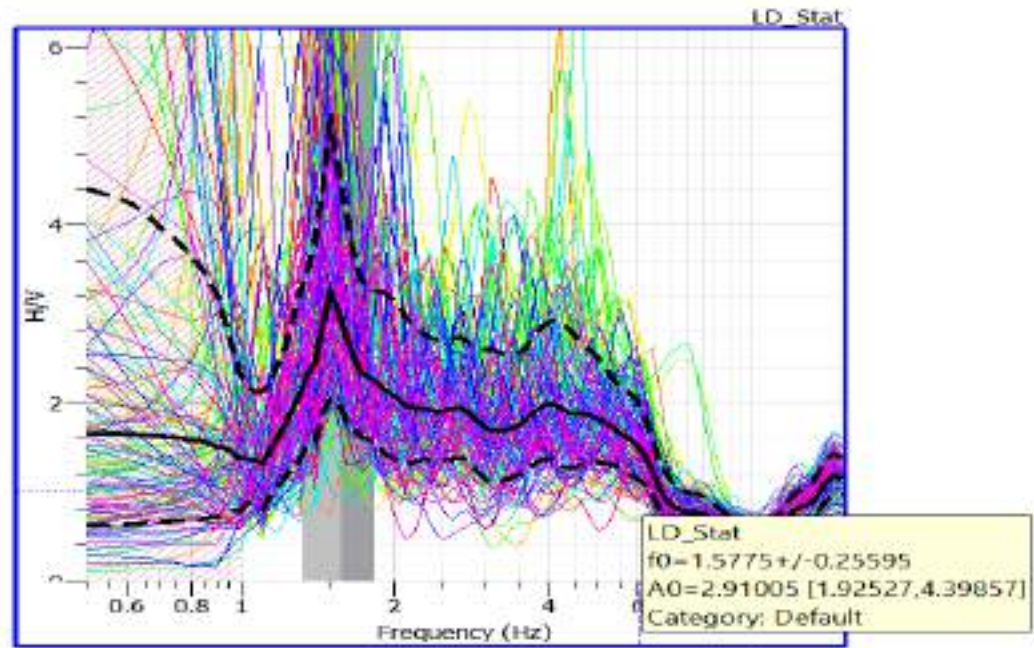
M A K A S S A R



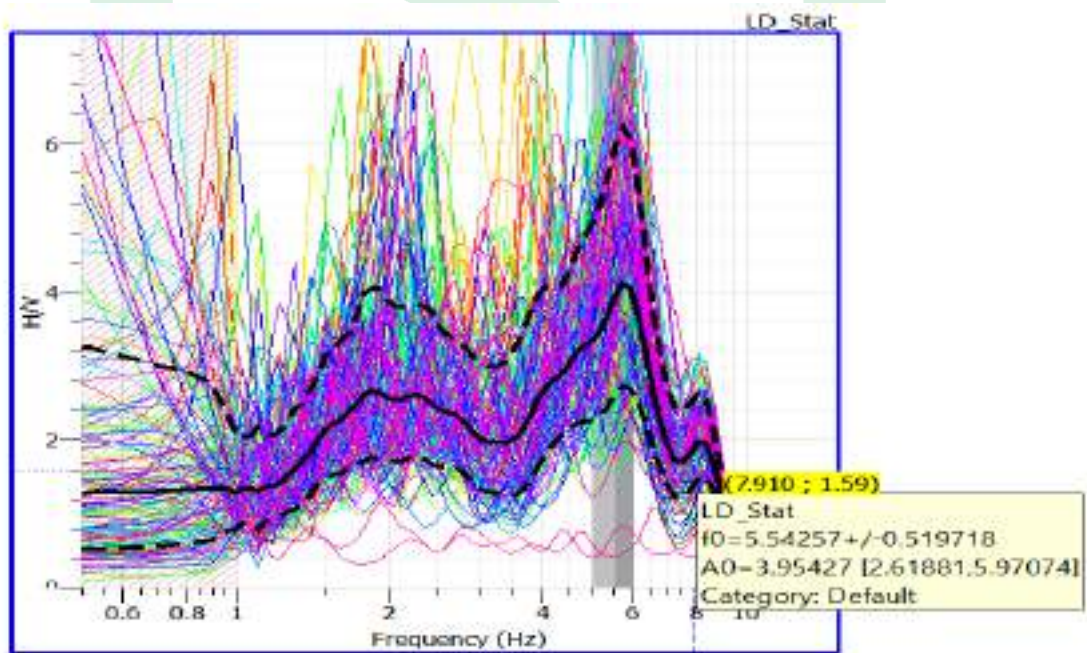
Gambar 4.3: Grafik hasil pengukuran data kedua di tanah timbunan



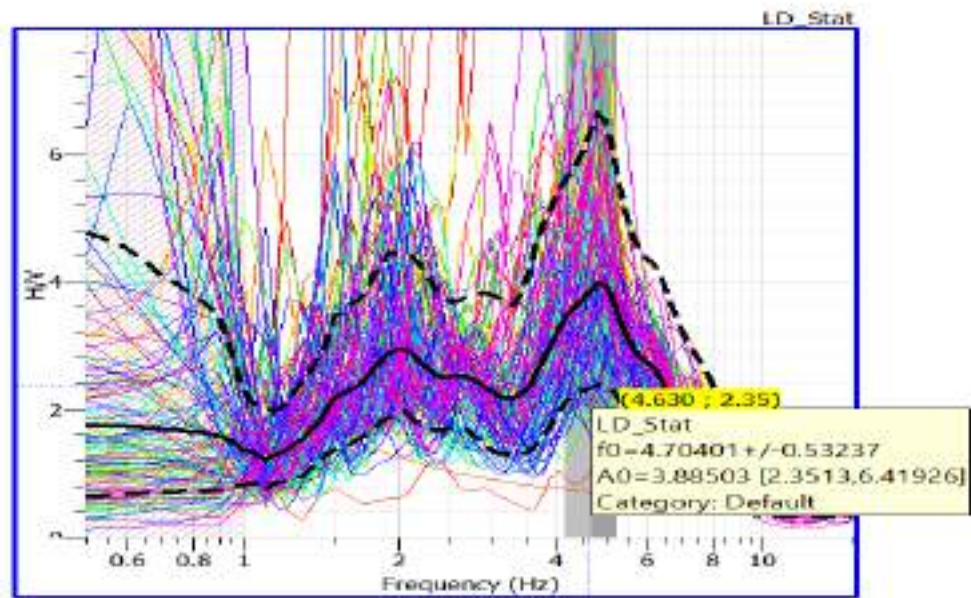
Gambar 4.4: Grafik hasil pengukuran data ketiga di tanah timbunan



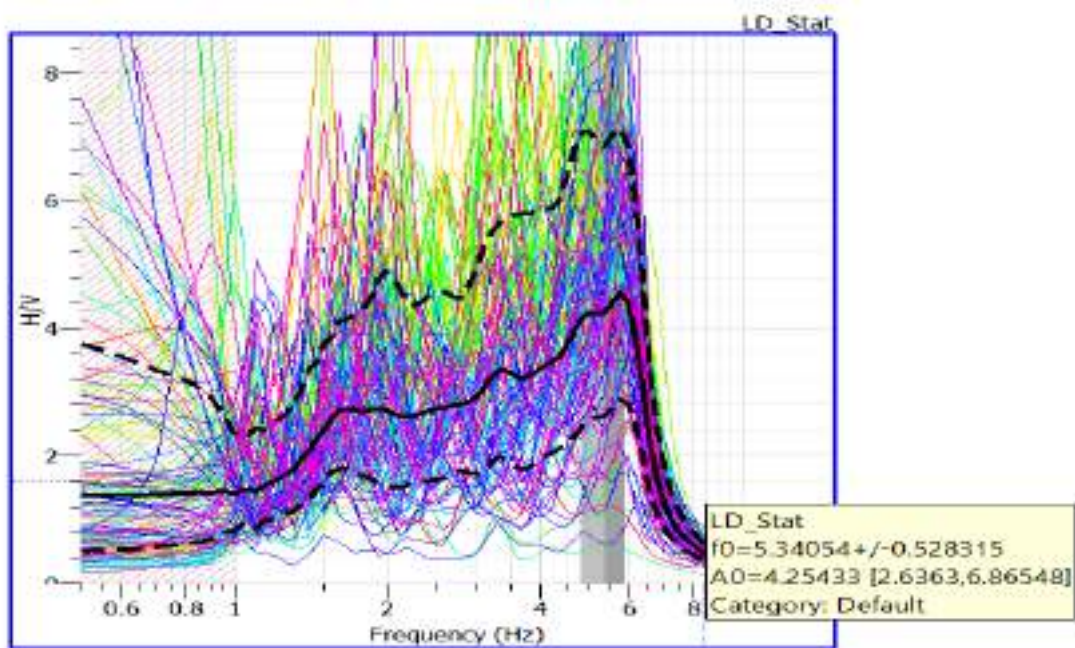
Gambar 4.5: Grafik hasil pengukuran data keempat di tanah timbunan



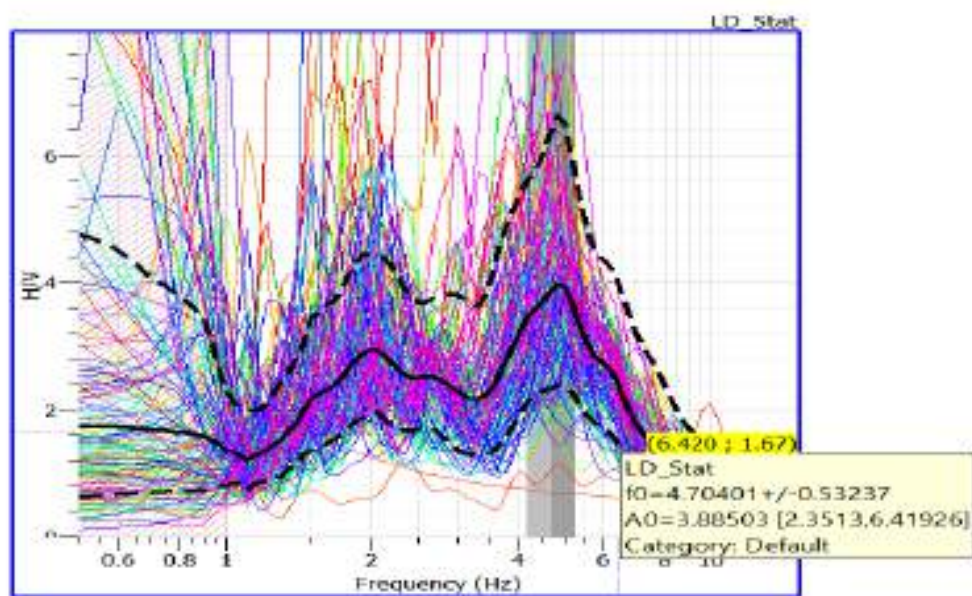
Gambar 4.6: Grafik hasil pengukuran data kelima di tanah asli



Gambar 4.7: Grafik hasil pengukuran data keenam di tanah asli



Gambar 4.8: Grafik hasil pengukuran data ketujuh di tanah asli



Gambar 4.9: Grafik hasil pengukuran data kedelapan di tanah asli

Hasil yang diperoleh dari grafik yang diolah dalam *Software Geopshy* yaitu nilai frekuensi dominan (f_0) dan faktor amplifikasi (A_0) dimana nilai untuk titik pengukuran pertama yang berada di tanah timbun untuk frekuensi dominan adalah 1.62955 Hz dan untuk titik pengukuran kelima yang berada di tanah asli adalah 5.54257 Hz.

Kurva HVSR yang terbentuk dari hasil *windowing* ditampilkan dari semua *window* (Kontaknya). Kurva dengan warna hitam menunjukkan kurva rata-rata HVSR, sedangkan garis hitam putus-putus menunjukkan simpangan kurva HVSR.

Frekuensi dominan diperoleh dengan menganalisis sinyal pengukuran mikrotremor yang telah diolah pada *Software Geopshy*. Berdasarkan analisis tersebut diperoleh masing-masing nilai frekuensi dominan. Untuk nilai frekuensi dominan kategori kerentanan yang tinggi terdapat pada titik pengukuran MT1,

MT2, MT3, MT4 dengan nilai frekuensi dominan terdapat pada rentan nilai 1,33-5 Hz, dimana jika dihubungkan dengan tabel klasifikasi tanah berdasarkan nilai frekuensi mikrotremor oleh Kanai (Tabel 2.2) diketahui bahwa nilai frekuensi yang diperoleh dari hasil olah data diklasifikasikan sebagai jenis tanah klasifikasi 2 dengan sebagian besar lapisan di luvium atau lapisan aluvium dengan perbandingan ketebalan lapisan keras pada area yang luas. Terdiri dari kerikil, tanah liat dan lempung. Untuk nilai frekuensi dominan kategori kerentanan yang sedang terdapat pada titik pengukuran MT6 dan MT8 dengan nilai frekuensi dominan terdapat pada rentan nilai 1,33-5 Hz, dimana jika dihubungkan dengan tabel klasifikasi jenis tanah 3 berdasarkan nilai frekuensi mikrotremor oleh Kanai (Tabel 2.2) diketahui bahwa nilai frekuensi Sebagian besar sangat didominasi oleh lapisan aluvium terdiri dari pasir, tanah liat berpasir dan tanah liat . Sedangkan untuk nilai frekuensi dominan kategori rendah berada pada titik pengukuran MT5 dan MT7 yang jika dihubungkan dengan tabel klasifikasi tanah berdasarkan nilai frekuensi mikrotremor oleh kanai (Tabel 2.2) diketahui bahwa nilai frekuensi yang diperoleh dari hasil olah data diklasifikasikan pada jenis tanah I Batuan tersier atau lebih tua, terdiri dari batuan kerikil pasir keras. Berikut hasil analisis data nilai frekuensi dominan di masing-masing titik pengukuran:

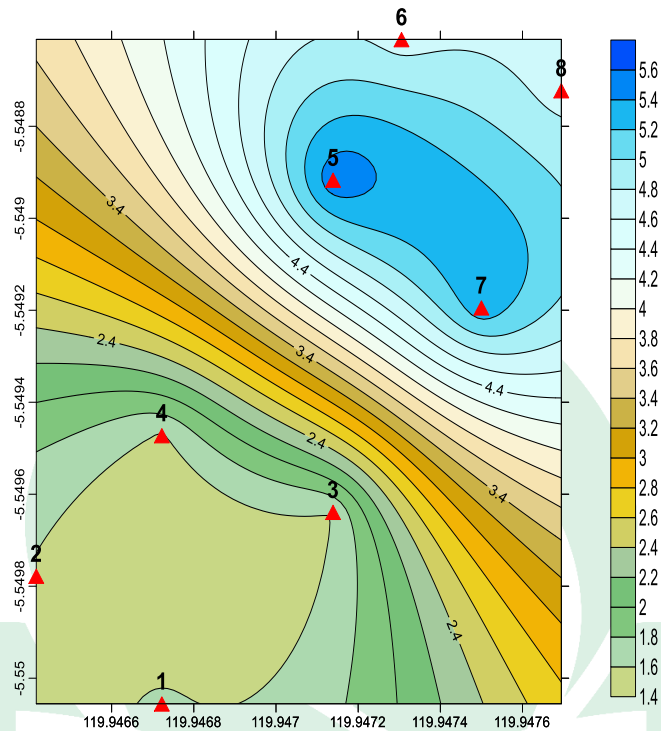
Tabel 4.3: Hasil analisis data nilai frekuensi Dominan (f_0)

Nama Titik	Lintang	Bujur	f_0	Kondisi tanah
MT1	5° 33' 0.2"LS	119° 56' 48.2"BT	1,62955	Sebagian besar lapisan <i>luvium</i> atau lapisan <i>alluvium</i> dengan perbandingan lapisan keras

Nama Titik	Lintang	Bujur	f_0	Kondisi tanah
MT2	5° 32' 59.2"LS	119° 56' 47.1"BT	1,58443	pada area yang luas, terdiri dari kerikil, tanah liat dan lempung .
MT3	5° 32' 58.7"LS	119° 56' 49.7"BT	1,60816	
MT4	5° 32' 58.1"LS	119° 56' 48.2"BT	1,57750	
MT6	5° 32' 55.0"LS	119° 56' 50.3"BT	4,70401	Sebagian besar sangat didominasi oleh lapisan aluvium terdiri dari pasir, tanah liat berpasir dan tanah liat.
MT8	5° 32' 55.4"LS	119° 56' 51.7"BT	4,70401	
MT5	5° 32' 56.1"LS	119° 56' 49.7"BT	5,54257	Batuan tersier atau lebih tua. Terdiri dari batuan kerikil pasir keras.
MT7	5° 32' 57.1"LS	119° 56' 51.0"BT	5,34054	

Berdasarkan nilai hasil analisis frekuensi dominan di atas, maka dapat diperoleh secara umum sebaran nilai frekuensi dominan berada pada rentang 1,57750 Hz sampai 5,54257 Hz. Berikut hasil sebaran nilai frekuensi dominan dapat diperoleh dalam bentuk kontur menggunakan *software Surfer 13*:

M A K A S S A R



Gambar 4.10: Kontur sebaran nilai frekuensi dominan (f_o)

4.4 Periode dominan (T_o)

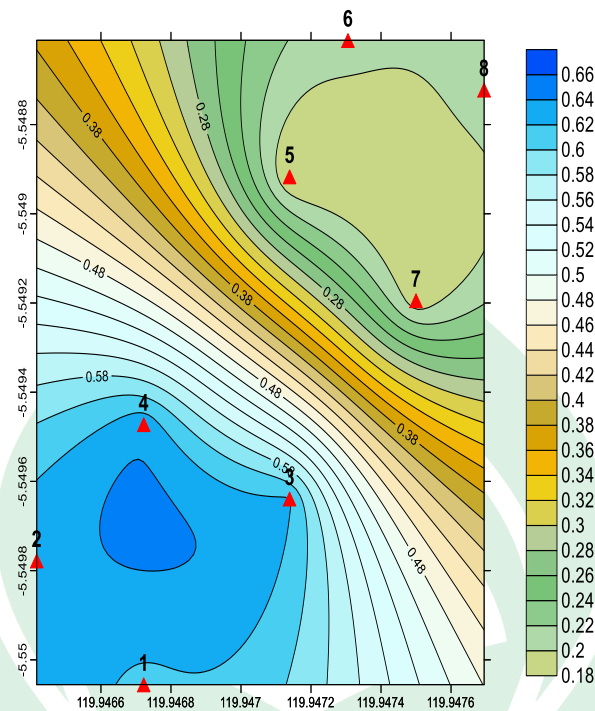
Nilai periode merupakan waktu yang dibutuhkan gelombang untuk merambat melewati lapisan endapan sedimen permukaan atau mengalami satu kali pemantulan terhadap bidang pantulnya ke permukaan. Nilai periode ini berbanding terbalik dengan frekuensi dominan, jadi jika frekuensi rendah maka periode semakin tinggi begitupun sebaliknya jika frekuensi tinggi maka periodenya semakin rendah. Untuk nilai periode dominan rendah berada pada titik pengukuran MT5, MT6, MT7 dan MT8 dimana dengan karakter sedang klasifikasi tanah jenis batuan *alluvial*, dengan ketebalan 5 meter. Terdiri dari *sandy-gravel*, *sandy hard clay*, *loam*, dan lain-lain. Untuk titik pengukuran MT1, MT2, MT3, MT4 dimana dengan karakter sangat lunak klasifikasi tanah dengan jenis bahan *alluvial* yang

terbentuk dari sedimentasi delta, top soil, lumpur dan lain-lain. Di ketahui bahwa periode dominan yang rentan berada pada titik pengukuran MT1, MT2, MT3 dan MT4 dengan nilai periode T (sekon) $>0,40$ dengan karakter sangat lunak karena tanah ini adalah tanah timbunan yang berada tepat gedung RSUD Bantaeng. Berikut hasil analisis data nilai periode dominan di masing-masing titik pengukuran:

Tabel 4.4: Hasil Analisis data nilai Periode Dominan (T_0)

Nama Titik	Lintang	Bujur	Periode dominan T_0 (sekon)	Kondisi tanah
MT1	5° 33' 0.2"LS	119° 56' 48.2"BT	0,6136663	Bahan <i>alluvial</i> , yang berbentuk dari sedimentasi <i>delta</i> , <i>top soil</i> , lumpur, dan lain-lain
MT2	5° 32' 59.2"LS	119° 56' 47.1"BT	0,6311418	
MT3	5° 32' 58.7"LS	119° 56' 49.7"BT	0,6218287	
MT4	5° 32' 58.1"LS	119° 56' 48.2"BT	0,6339144	
MT5	5 5° 32' 56.1"LS	119° 56' 49.7"BT	0,1804217	Batuan <i>alluviul</i> , dengan ketebalan 5 meter. Terdiri dari <i>sandy-gravel</i> , <i>sandy hard clay</i> , <i>loam</i> dan lain-lain.
MT6	5° 32' 55.0"LS	119° 56' 50.3"BT	0,2125846	
MT7	5° 32' 57.1"LS	119° 56' 51.0"BT	0,187247	
MT8	5° 32' 55.4"LS	119° 56' 51.7"BT	0,2125846	

Berdasarkan nilai hasil analisis periode dominan diatas, maka dapat diperoleh secara umum sebaran nilai periode dominan rentan 0, 1804217 sampai 0, 6339114 sekon. Berikut kontur sebaran nilai periode dominan yang diperoleh dengan menggunakan *software surfer13*:



Gambar 4.11: Kontur sebaran nilai Periode Dominan T_0 .

4.5 Indeks Kerentanan Seismik (K_g)

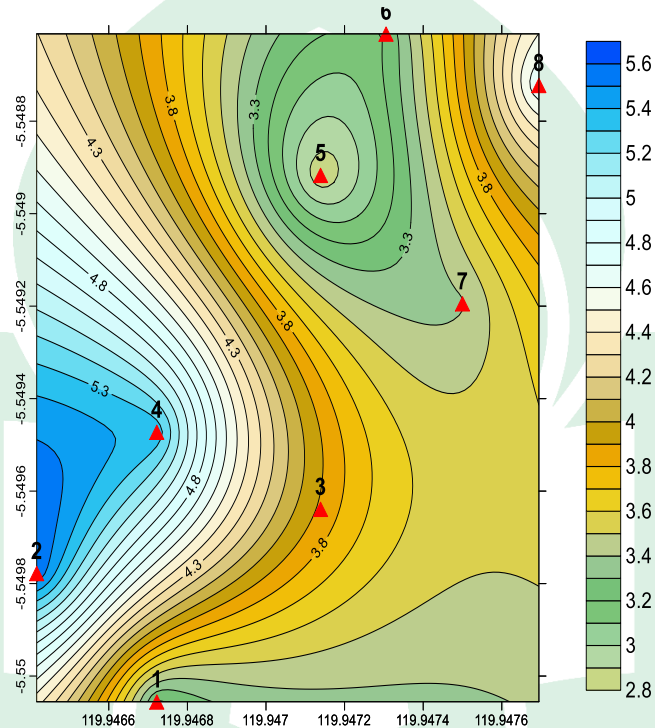
Indeks kerentanan seismik dimana menggambarkan tingkat kerentanan lapisan permukaan terhadap deformasi saat terjadinya Gempabumi. Nilai indeks kerentanan seismik di setiap titik pengukuran bervariasi. Indeks kerentanan berguna untuk mendeteksi daerah yang merupakan zonah lemah (*unconsolidated sediment*) pada saat terjadi gempabumi. Berdasarkan hasil perhitungan nilai indeks kerentanan seismik pada daerah penelitian didapatkan untuk nilai indeks kerentanan seismik kategori rendah sesuai dengan klasifikasi nilai indeks kerentanan seismik oleh Refrizon (Tabel 2.1). Terdapat pada titik pengukuran MT5 dengan indeks kerentanan seismik terdapat pada rentan nilai >3 , dikarenakan pada MT5 berada di sekitar pesisir yang didominasi dari pasir dan tanah liat sehingga berada pada zona rendah. Untuk nilai indeks kerentanan seismik kategori sedang sesuai dengan

klasifikasi nilai indeks kerentanan seismik oleh Refrizon (Tabel 2.1) MT1, MT2, MT3, MT4, MT6, MT7, dan MT8 dengan nilai indeks kerentanan seismik terdapat pada rentan nilai 3-6. Berdasarkan nilai yang dihasilkan maka dapat diketahui bahwa semakin tinggi nilai indeks kerentanan suatu daerah, maka daerah tersebut lebih merasakan dampak dari Gempabumi atau dengan kata lain daerah tersebut memiliki Skala intensitas gempabumi yang tinggi pula. Berikut hasil analisis data nilai indeks kerentanan seismik di masing-masing titik pengukuran:

Tabel 4.5: Analisis data nilai indeks Kerentanan Seimik (Kg)

Nama Titik	Lintang	Bujur	Indeks Kerentanan Seismik Kg	Kategori
MT5	5° 32' 56.1"LS	119° 56' 49.7"BT	2.82111931	Rendah
MT1	5° 33' 0.2"LS	119° 56' 48.2"BT	3.18018479	Sedang
MT2	5° 32' 59.2"LS	119° 56' 47.1"BT	5.58445982	
MT3	5° 32' 58.7"LS	119° 56' 49.7"BT	3.88089691	
MT4	5° 32' 58.1"LS	119° 56' 48.2"BT	5.36823518	
MT6	5° 32' 55.0"LS	119° 56' 50.3"BT	3.20863648	Sedang
MT7	5° 32' 57.1"LS	119° 56' 51.0"BT	3.38904376	
MT8	5° 32' 55.4"LS	119° 56' 51.7"BT	4.70401000	

Untuk nilai hasil analisis indeks kerentanan seismik diatas, maka dapat diperoleh secara umum sebaran nilai indeks kerentanan seismik pada daerah pengukuran berada pada rentan 2,821119 – 5,584459 dengan persebaran nilainya yang diperoleh menggunakan *software Surfer13* sebagai berikut:



Gambar 4.12: Kontur sebaran nilai Kerentanan Seismik (Kg).

4.6 Analisis Percepatan Getaran Tanah (PGA).

Analisis percepatan getaran tanah menggunakan referensi data gempa Tahun 2018 terjadi gempa di Palu tepat tanggal 28 September pukul 17:02:44 WIB, Donggala, Sulawesi Tengah dengan kekuatan 7,7 SR (sumber www.bmkg.go.id.com) data ini dijadikan sebagai sumber magnitudo gempabumi terbesar dalam kurun waktu terakhir dan getaran gempa yang terjadi di daerah Donggala tersebut telah mengalami getaran yang sampai pada titik penelitian.

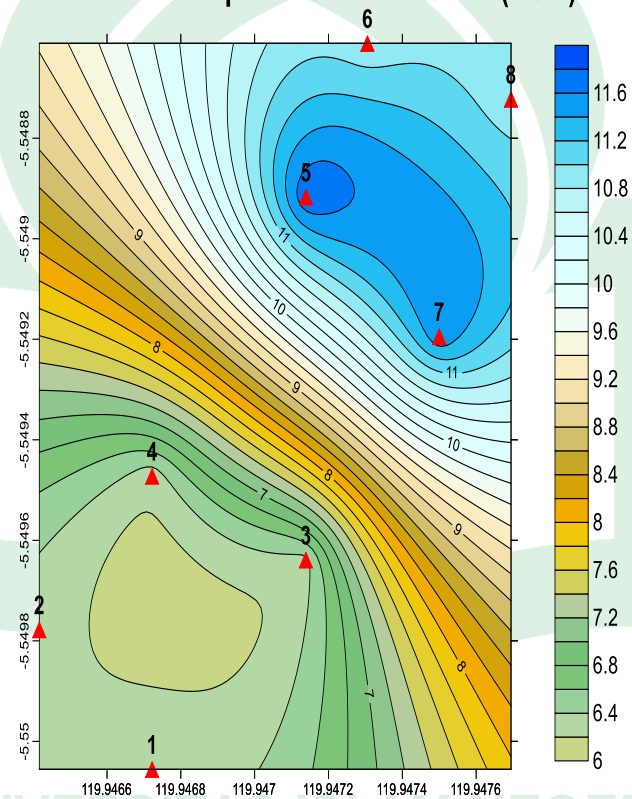
Berdasarkan data gempa diperoleh parameter-parameter yaitu K_e dalam titik gempa serta koordinat gempanya yang dapat digunakan untuk menghitung nilai PGA . Berdasarkan perhitungan nilai PGA , maka diperoleh nilai PGA yang dimana jika dihubungkan dengan skala intensitas gempabumi (Tabel 2.4). Pada daerah penelitian diinterpretasikan untuk titik pengukuran MT1 sampai MT8 berada skala II dengan deskripsi dirasakan oleh orang banyak tetapi tidak menimbulkan kerusakan, hanya saja benda-benda ringan yang digantung bergoyang dan jendela kaca bergetar dengan memiliki nilai PGA 2,9-88 gal. Berikut hasil analisis data nilai percepatan getaran tanah di masing-masing titik pengukuran.

Tabel 4.6: Analisis data percepatan getaran tanah/ PGA

Nama Titik	Lintang	Bujur	Percepatan getaran tanah PGA (gal)	Kategori
MT1	5° 33' 0.2"LS	119° 56' 48.2"BT	6,38269	Sedang dengan deskripsi intensitas gempa dirasakan
MT2	5° 32' 59.2"LS	119° 56' 47.1"BT	6,29371	
MT3	5° 32' 58.7"LS	119° 56' 49.7"BT	6,34066	
MT4	5° 32' 58.1"LS	119° 56' 48.2"BT	6,27993	
MT5	5° 32' 56.1"LS	119° 56' 49.7"BT	11,7713	
MT6	6° 5' 32' 55.0"LS	119° 56' 50.3"BT	10,8444	Sedang dengan deskripsi intensitas gempa dirasakan
MT7	7° 5' 32' 57.1"LS	119° 56' 51.0"BT	11,5548	
MT8	7° 5' 32' 55.4"LS	119° 56' 51.7"BT	10,8444	

Hasil analisis percepatan getaran tanah diatas, maka dapat diperoleh secara umum sebaran nilai percepatan getaran tanah / *PGA* pada daerah pengukuran berada pada rentang 6,27993 sampai 11,7713 gal. Berikut hasil persebaran nilai percepatan getaran tanah pada daerah penelitian dengan menggunakan *software surfer13*:

Sebaran Nilai Percepatan Getaran Tanah (PGA)



Gambar 4.13: Kontur sebaran nilai percepatan getaran tanah (*PGA*).

BAB V

PENUTUP

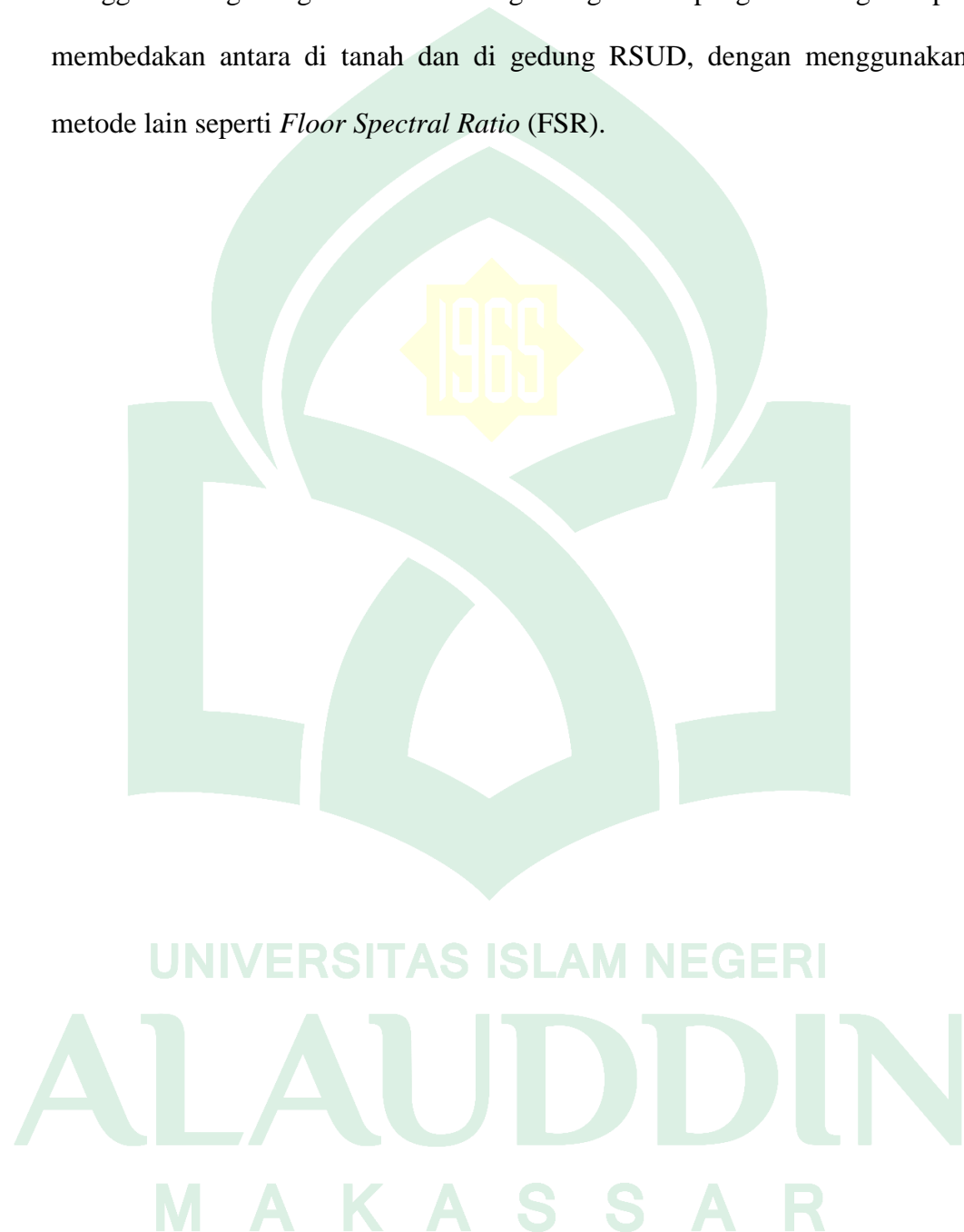
5.1 Kesimpulan

Berdasarkan hasil penelitian, maka dapat disimpulkan sebagai berikut:

1. Berdasarkan hasil penelitian untuk besar frekuensi alamiah tanah gedung RSUD Prof. Dr. H. Anwar Makkatutu Bantaeng di tanah timbun dengan titik pengukuran pertama adalah 1,62955 Hz dan untuk titik pengukuran kelima yang berada di tanah asli adalah 5,54257 Hz.
2. Berdasarkan hasil penelitian untuk indeks kerentanan seismik titik pengukuran MT5 dengan indeks kerentanan seismik terdapat pada rentan nilai <3 sedangkan MT1, MT2, MT3, MT4, MT6, MT7, dan MT8 dengan nilai indeks kerentanan seismik terdapat pada rentan nilai 3-6. Sehingga bangunan RSUD Bantaeng masih dalam keadaan aman apabila terjadi gempa. Akan tetapi jika daerah tersebut sering mengguncang maka di daerah tersebut dan sekitarnya bisa merusak bangunan.
3. Berdasarkan analisis percepatan getaran tanah/PGA maka dapat disimpulkan bahwa pada daerah ini memiliki percepatan getaran tanah yang relatif kecil dengan kisaran nilai antara 6,27993 sampai 11,7713 gal yang pengaruhnya relatif kecil terhadap intensitas gempabumi.

5.2 Saran

Saran yang diberikan pada penelitian selanjutnya disarankan untuk menggunakan gedung RSUD Bantaeng sebagai titik pengukuran agar dapat membedakan antara di tanah dan di gedung RSUD, dengan menggunakan metode lain seperti *Floor Spectral Ratio* (FSR).



DAFTAR PUSTAKA

- Arie, G., & Lasut, F. *Pengembangan IPTEK Kebumihan Menunjang Pembangunan Insani yang Berkelanjutan*, UPN Veteran Yogyakarta, 2011.
- Ayusari, Wahyudi. *Kajian Potensi Resonansi Getaran Gedung Akibat Gempabumi. Studi kasus Gedung Jurusan Fisika*. FMIPA UGM Yogyakarta, 2011.
- Aryanti, Intan Novia. *Identifikasi Potensi Gerakan Tanah dengan Pendekatan Dround Shear Strain menggunakan Pengukuran Mikrotremor di Kacamaran Pacitan Jawa Barat*. Yogyakarta: UIN Sunan Kalijaga, 2014.
- Alfiani, Dita Nurul. *Analisis Mikrotremor untuk Evaluasi Kekuatan Bangunan Bertingkat*. (Skripsi). Yogyakarta: UIN Sunan Kalijaga. 2009.
- A.Resqy Nur Ameliyah. *Studi Tingkat Resiko bahaya Seismik Berdasarkan Analisis Pengukuran Mikrotremor di Kecamatan Alla Kabupaten Enrekang*, 2017.
- BMKG Wilayah IV Makassar. *Data Gempa di Donggala*, Sulawesi Tengah. 2018.
- BNPB. *Kebencanaan*. Diakses 20 Maret 2013 dari <http://www.bnpb.go.id>. 2013.
- Dal Moro, G. *Some Thorny Aspects about Surface Wave and HVSR Analyses:an Overview*. *Bollettino di Geofisica Teorica e Applicate, Special Iss ue, Submitted*, 2010.
- Dr.Mushthafa Muslim. *At-Tafsir Al-Muyassar: Memahami AL-Qur'an dengan Terjemahan dan Penafsiran paling mudah*. Darul Haq. Jakarta: Mushaf AL-Qur'an, 2016.
- Hall, R. *Cenozoio Geological and plate Tectonic Evolution of SE Asia. andthe SWPacific: Computer Based Reconstruction. Model and Animation. Journal of Asian Earthe* (20) 2002. 353 – 431, 2002.
- Herak, M. “*Model HVSR: a Matlab Tool to Model Horizontal – to Vertical Spectral Ratio of Ambient Noise*”. *Computers and Geosciences*, vol.34, hal.1514-1526, 2008.
- Hernanti, H. Y., Kristiawan, S. A., As, S., Teknik, M., & Bangunan, P. *Evaluasi Kerentanan Bangunan Lubuk Buaya Padang*, II(1), 2014.
- Hermeunetik. *Makna bencana Menurut Al-Qur'an: Kajian Fenomena Terhadap Bencana Indonesia*, 2013.
- Hardowigeno, S. *Ilmu Tanah, Mediyatma Sarana Perkasa*, Jakarta, 1992.
- Juan Pandu GNR, dkk. *Perhitungan Indeks Kerentanan Tanah Berdasarkan Analisa HVSR di Kawasan Situs Candi Pari dan Candi Sumur, Sidoarjo , Jawa Timur, Indonesia*, (September), 1930–1940, 2017.

- Kanai, K. Engineering Seismology University of Tokyo. Japan, 1983.
- Kementrian Agama Republik Indonesia."Al-Qur'an dan teremahan Edisi tahun 2013", dalam yayasan Penyelenggara Peneremah Al-Qur'an Semarang Indonesia, 2013.
- Lulie, Y., & Hatmoko, J. T. Scanned by CamScanner. *Interdisciplinary Journal Of Linguistics; University of kashmir , Srinagar,J&K,INDIA ,190006., 10, ISSN NUMBER-0974-3421/207-210.*<https://doi.org/10.1590/S1516-18462008000300012>, 2017.
- Nakamura, Y. *A Method for Dynamic Charateristics Estimation Od Sub surface Using Microtremor on The Ground Surface*. Tokyo: QuatrelyReports of the Railway Technical Research Institute, 30, 25-33, 1989.
- Partono, W. *Aplikasi Metode HVSR pada Perhitungan Faktor Amplifikasi Tanah di Kota Semarang*. Jurnal Media Komunikasi Teknik Sipil, 19(No.3), 125–134, 2013.
- Refrizon, dkk. *Analisis Percepatan Getaran Tanah Maksimum dan Tingkat Kerentanan Seismik Daerah Ratu Agung Kota Bnegkulu*. Lamupung : Prosiding Semirata FMIPA Universitas Lampung (2013).
- Sungkono, & Santosa, B. J. *Karakterisasi Kurva Horizontal-To-Vertical Spectral Ratio: Kajian Literatur dan Permodelan*. Jurnal Neutrino, 4(1), 1–15. <https://doi.org/10.18860/neu.v0i0.1662>, 2011
- Sarlina, Eko dan Steven. "Pemetaan Tingkat Resiko Gempabumi Di Sekitar Wilayah Kota Jayapura Berdasarkan Pengukuran Mikrotremor". *Jurnal Fisika dan Aplikasinya* 16, no.1 (2015): hal.56.
- Setiawan J.R. "*Mikrozonasi seismitas Daerah Yogyakarta dan Sekitarnya*".Tesis Bansung: Institut Teknologi Bandung, 2009.
- Subardjo. *Parameter Gempabumi Materi Diktat Teknis BMKG*. Jakarta, 2008.
- Shafira Nurlita, *jenis- jenis tanah Berdasarkan Proses terbentuknyan, asalnya dan kesuburannya* <http://thebalsla.com/jeni-jenis tanah>, 2008.
- Shihab, M Quraish. *Tafsir Al-Misbah: Pesan dan kesan dan keserasisas Al-Qur'an/M. Quraish Shihab volume 15*. Jakarta: Lentera hati, 2002.
- Skala Intensitas Gempabumi (SIG) BMKG. <http://www.bmkg.go.id/BMKG.Pusat/Gempabumi Tsunami/Gempabumi/SIG.bmkg>. 31 Maret 2019.
- Wikipedia, *Kondisi Geologi Kabupaten Bantaeng & action=edit & section* <https://id.wikipedia.org/w/index>, 2017.

RIWAYAT HIDUP



Nama Nurhidayanti biasa dipanggil ida, dilahirkan di Bantaeng pada tanggal 25 Agustus 1997, sebagai anak ketiga dari pasangan Bapak Suwardi, S.Pdi dan Ibu Hj. Suriati, S.Pd. Penulis mengawali pendidikannya dari TK Pertiwi di Kabupaten Banataeng pada tahun 2002. Kemudian dilanjutkan Sekolah Dasar (SD) di SDN Inpres Be'lang Bantaeng pada tahun 2003.. Selanjutnya Sekolah Menengah Pertama (SMP) di SMPN 3 Bisappu pada tahun 2010 dan pada tahun 2012 melanjutkan ke Sekolah Menengah Atas (SMA) di SMAN 1 Bantaeng.

Pada tahun 2015, penulis terdaftar sebagai mahasiswa di Jurusan Fisika Fakultas Sains dan Teknologi Universitas Islam Negeri (UIN) Alauddin Makassar melalui jalur SNMPTN undangan 2015. Selama menjadi mahasiswi, penulis juga aktif di beberapa organisasi intra maupun ekstra kampus. Penulis aktif sebagai anggota pengurus Himpunan Mahasiswa Jurusan (HMJ) Fisika pada periode, lalu diangkat sebagai wakil bendahara 2 pada kepengurusan periode 2017. Kemudian tahun 2018 menjadi bendahara umum Himpunan Mahasiswa Jurusan Fisika. Selain itu, penulis juga aktif dalam organisasi ekstra kampus yaitu Himpunan Mahasiswa Geofisika Indonesia (HMGI) Regional V sebagai anggota pengurus di divisi Event pada periode 2016/2017.

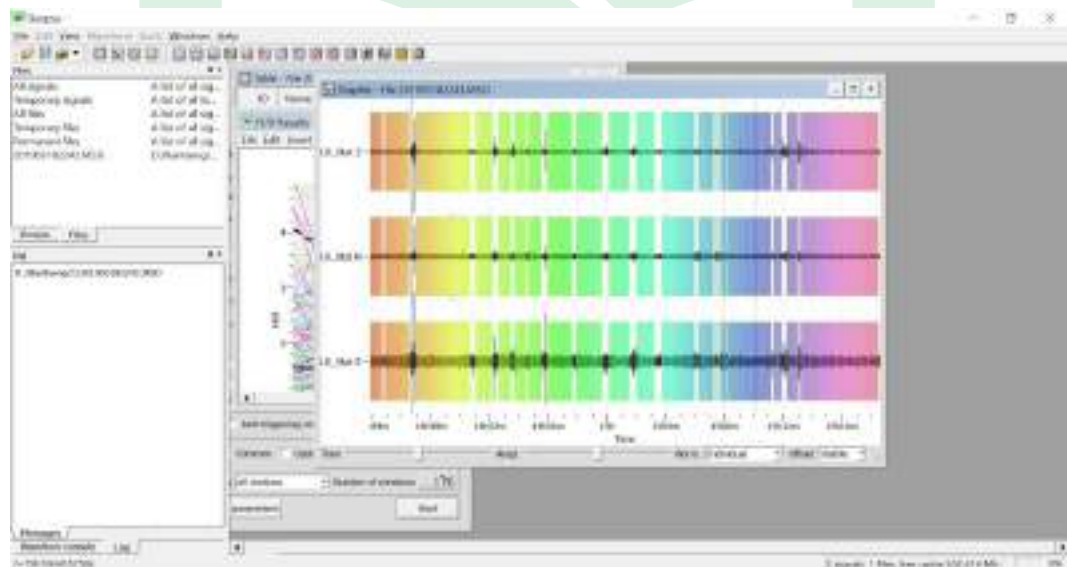
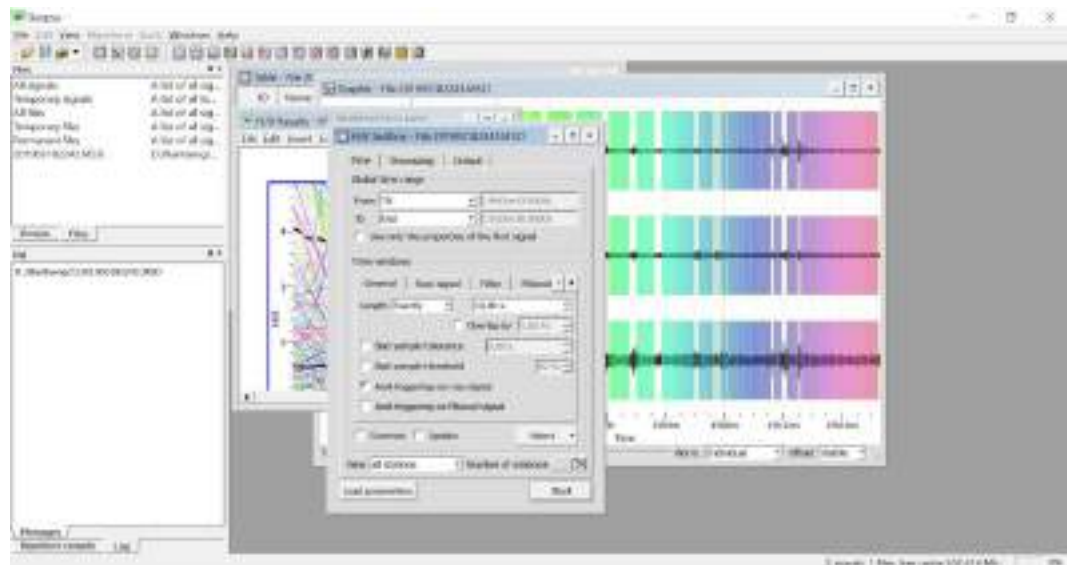


LAMPIRAN I

DATA HASIL PENELITIAN LAPANGAN

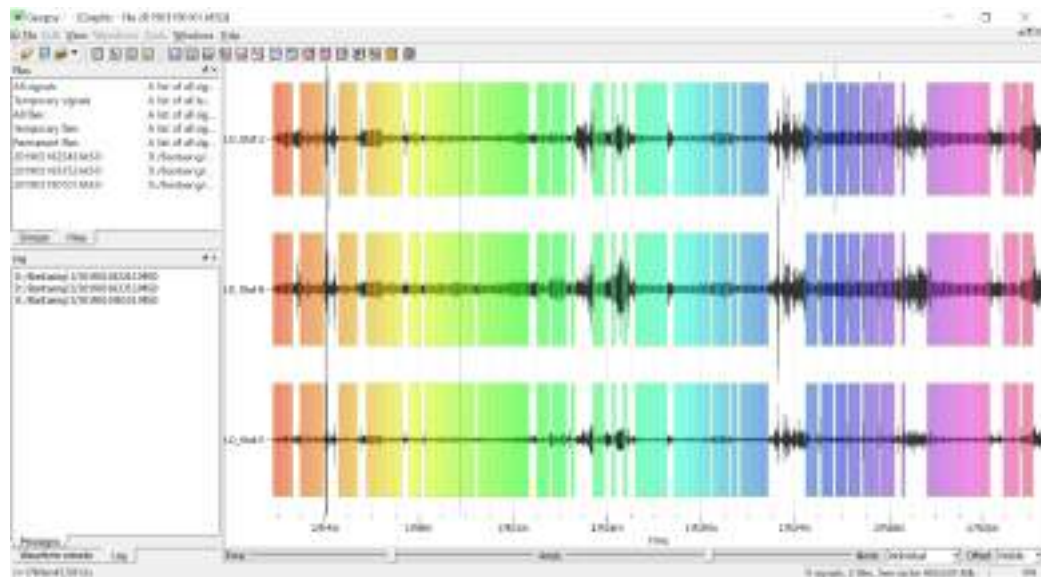
UNIVERSITAS ISLAM NEGERI
ALAUDDIN
M A K A S S A R

Titik pengukuran MT1

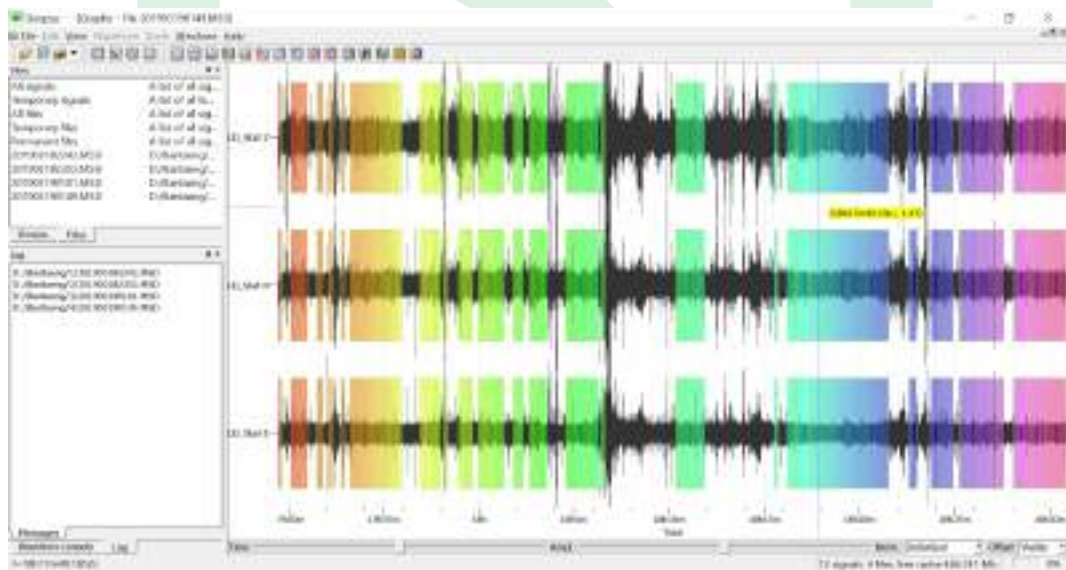
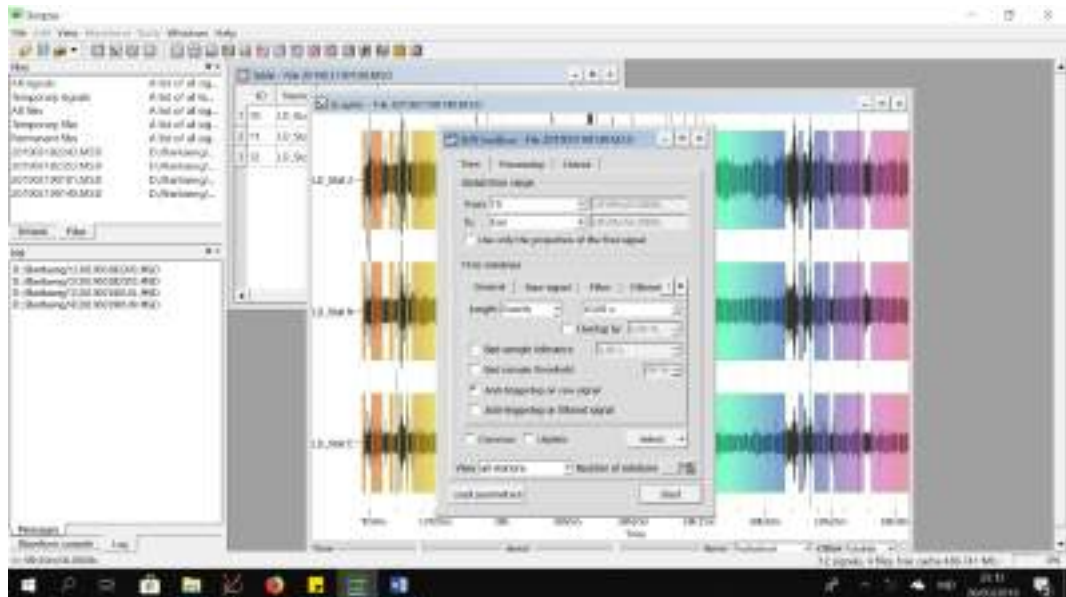


ALAUDDIN
MAKASSAR

Titik pengukuran MT3

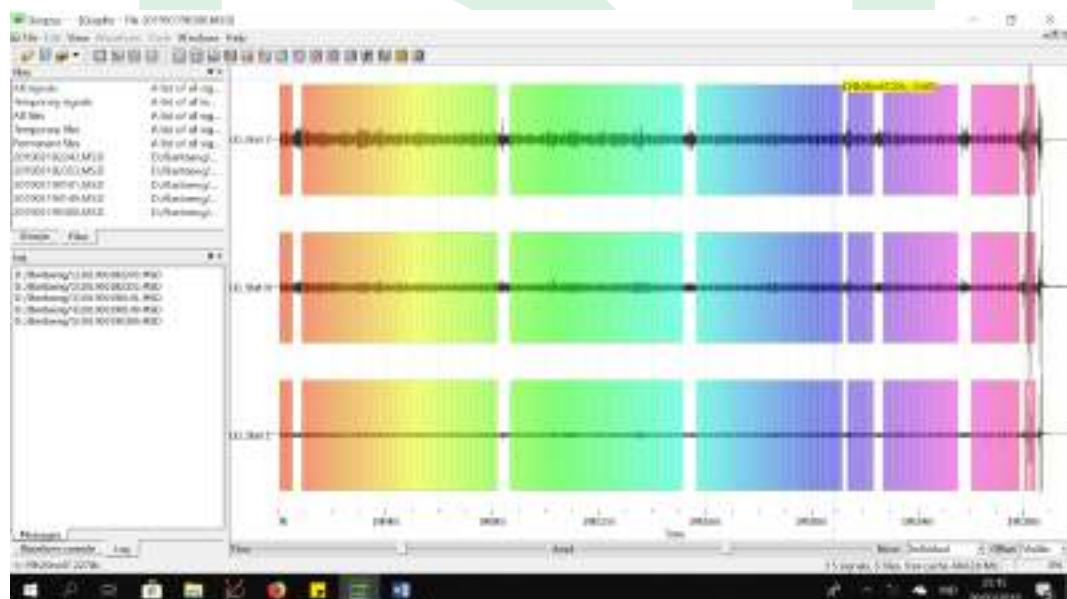
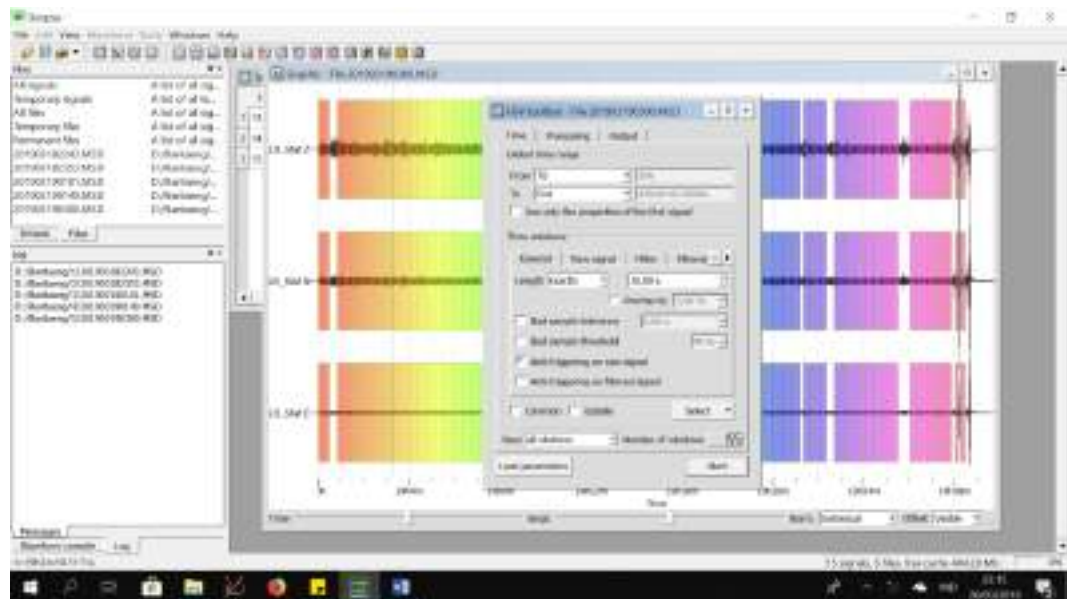


Titik pengukuran MT4



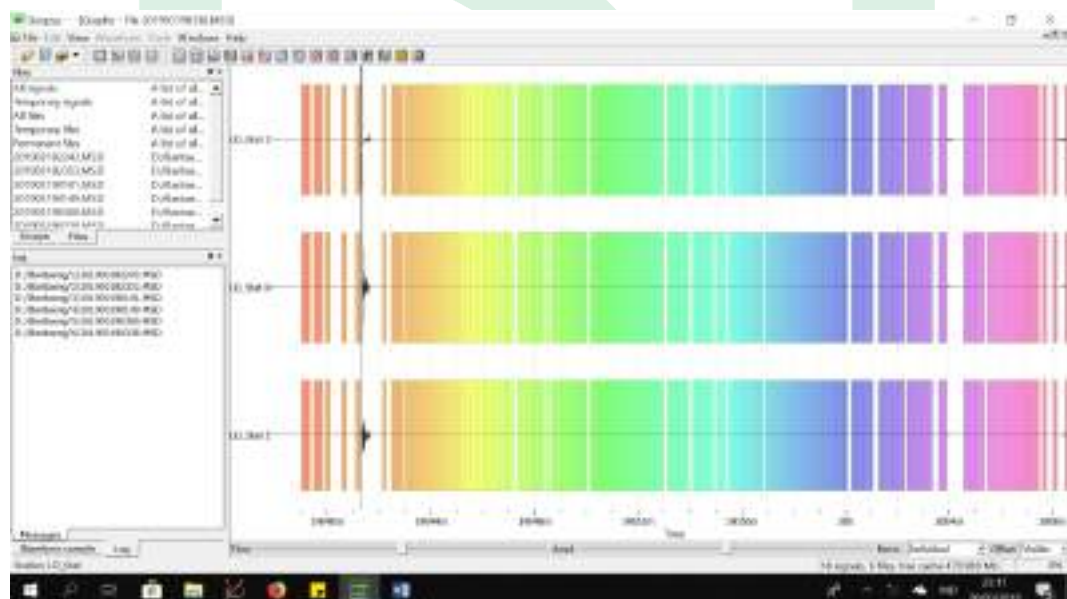
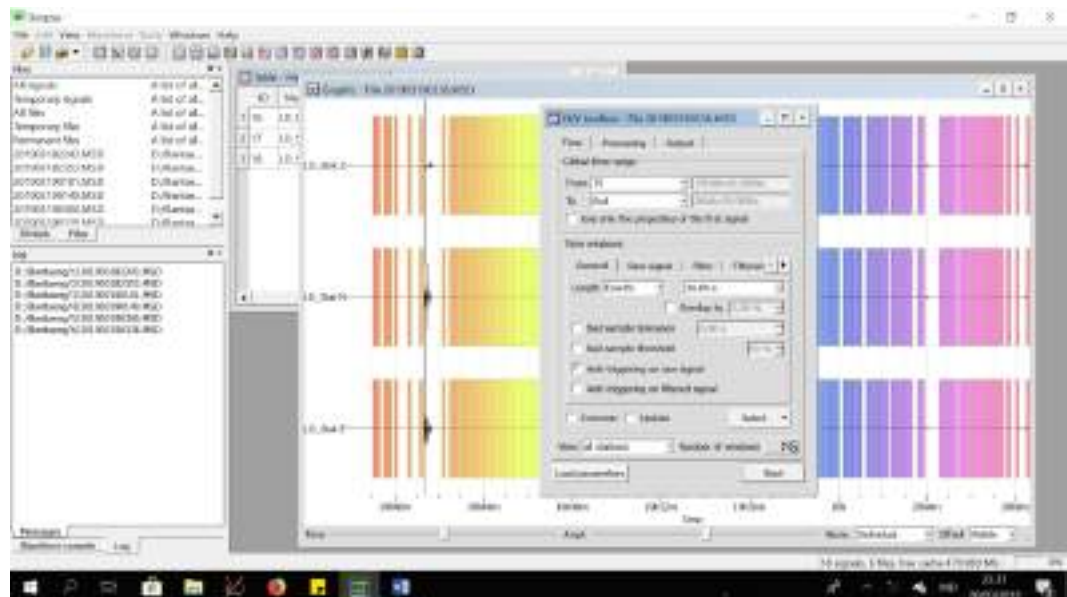
ALAUDDIN
MAKASSAR

Titik pengukuran MT5



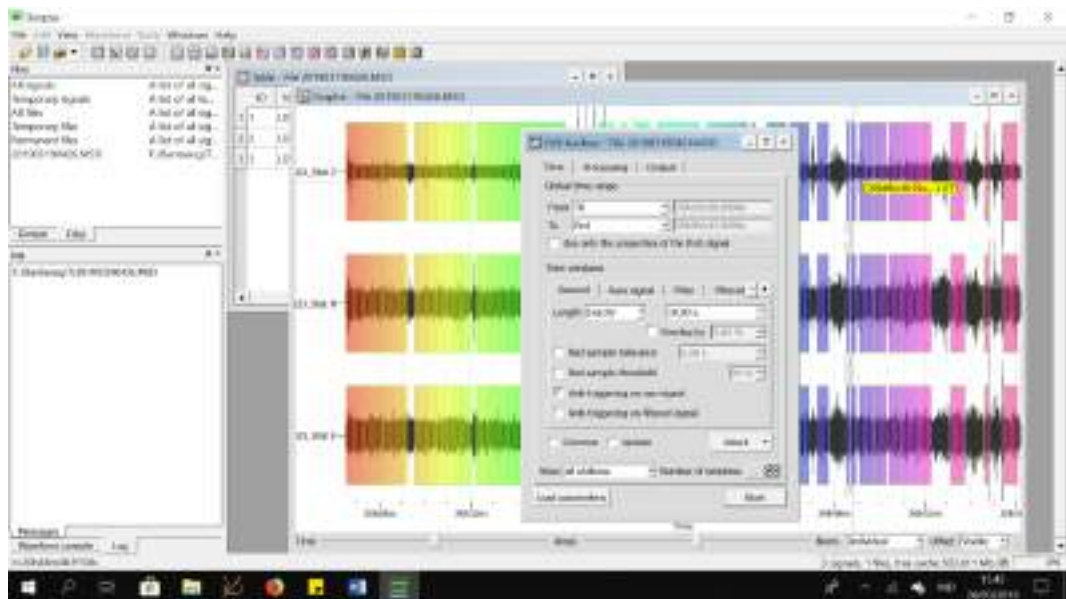
ALAUDDIN
MAKASSAR

Titik pengukuran MT6



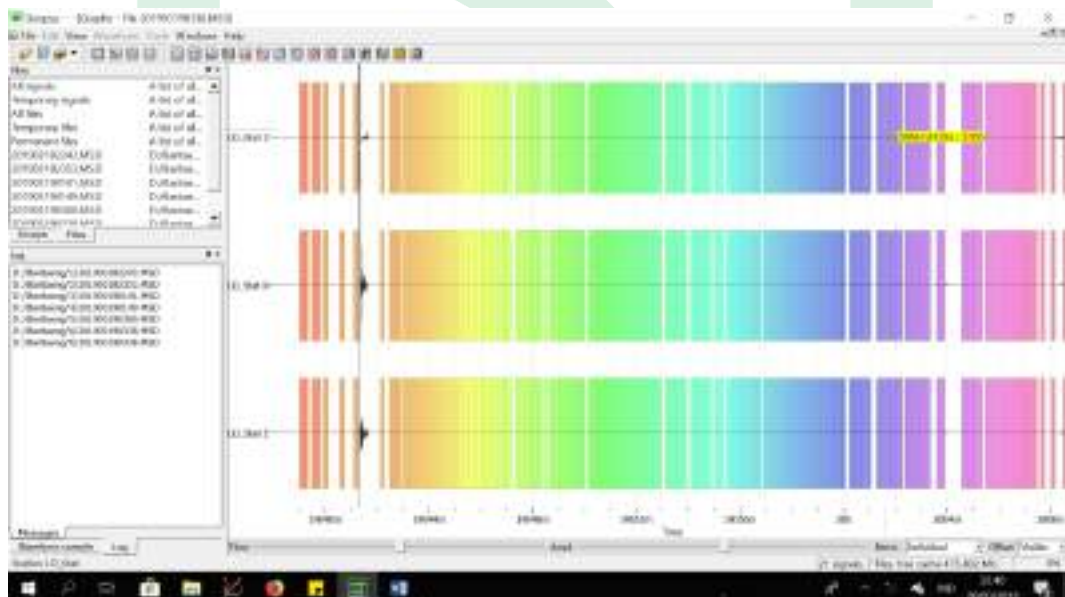
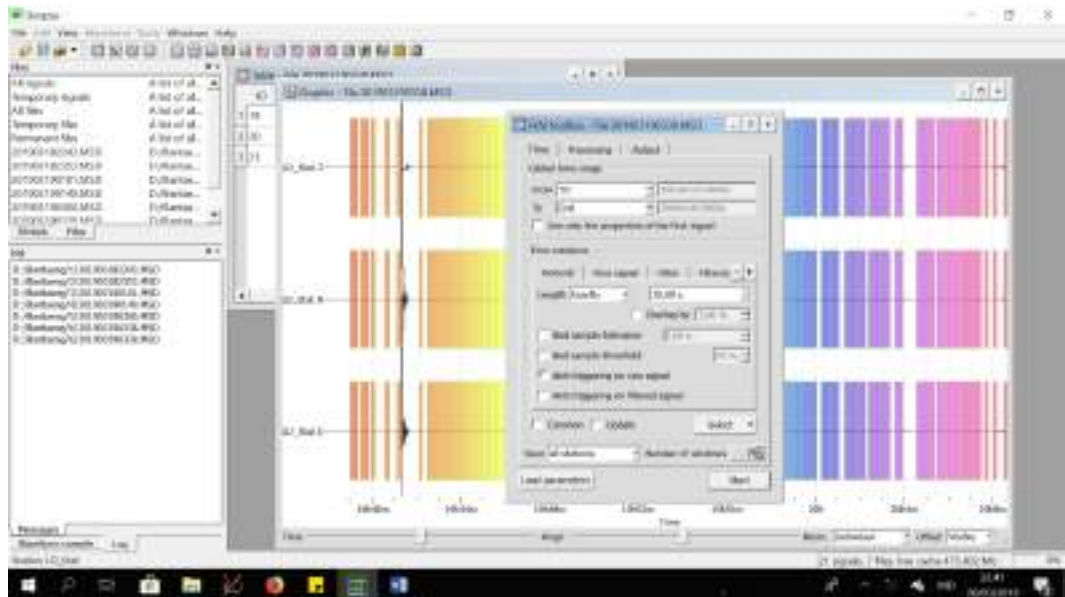
ALAUDDIN
MAKASSAR

Titik pengukuran MT7



ALAUDDIN
MAKASSAR

Titik pengukuran MT8



ALAUDDIN
MAKASSAR



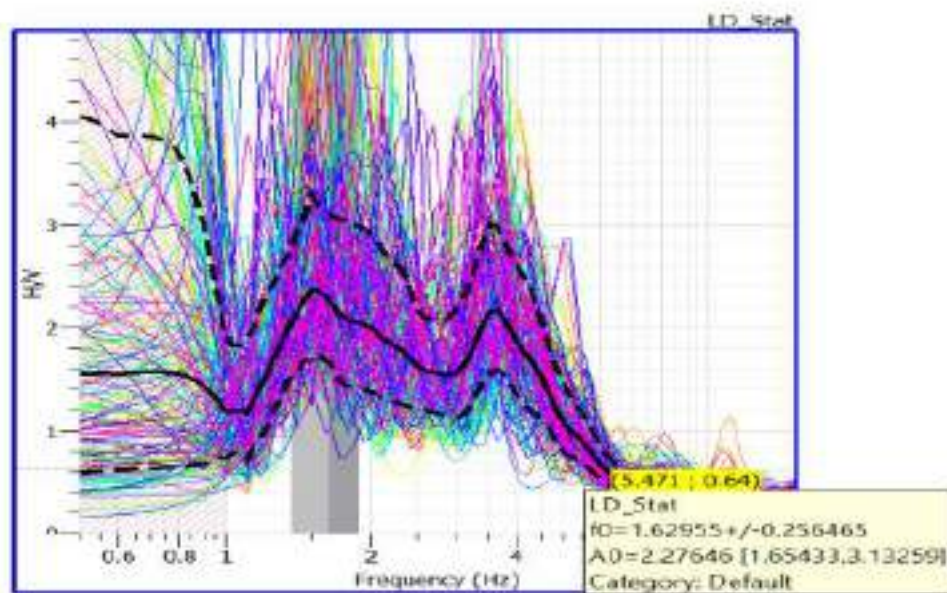
LAMPIRAN II

ANALISIS DATA PENELITIAN

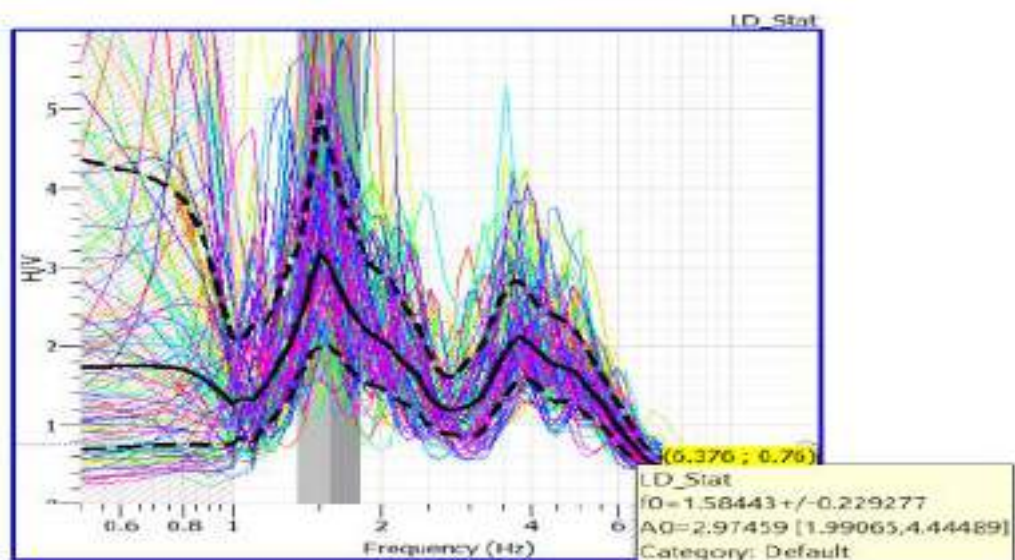
UNIVERSITAS ISLAM NEGERI
ALAUDDIN
M A K A S S A R

Analisis nilai frekuensi dominan dan amplifikasi pada software *geopsy*

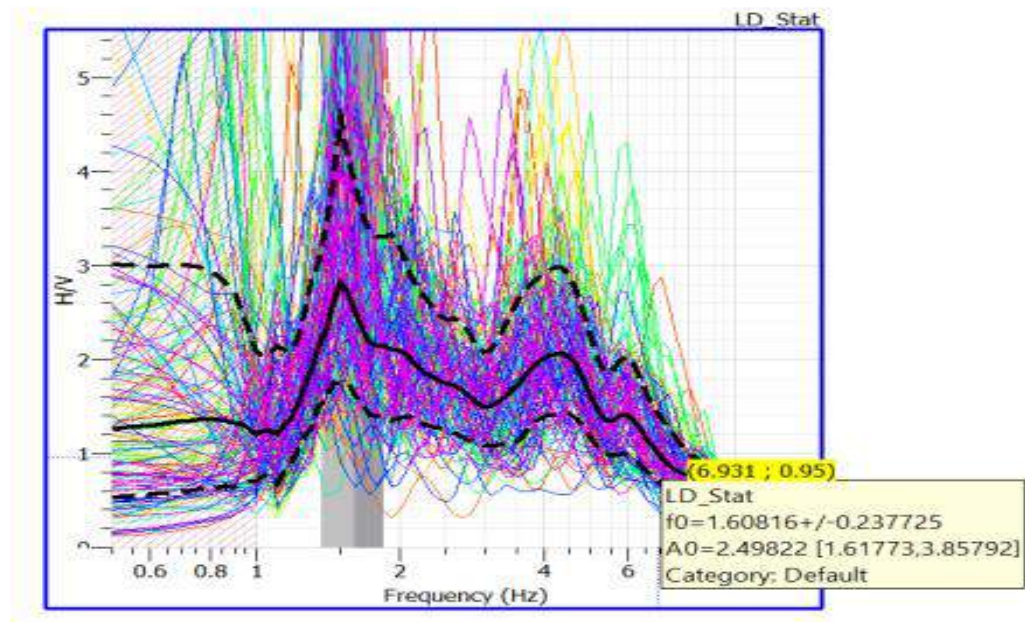
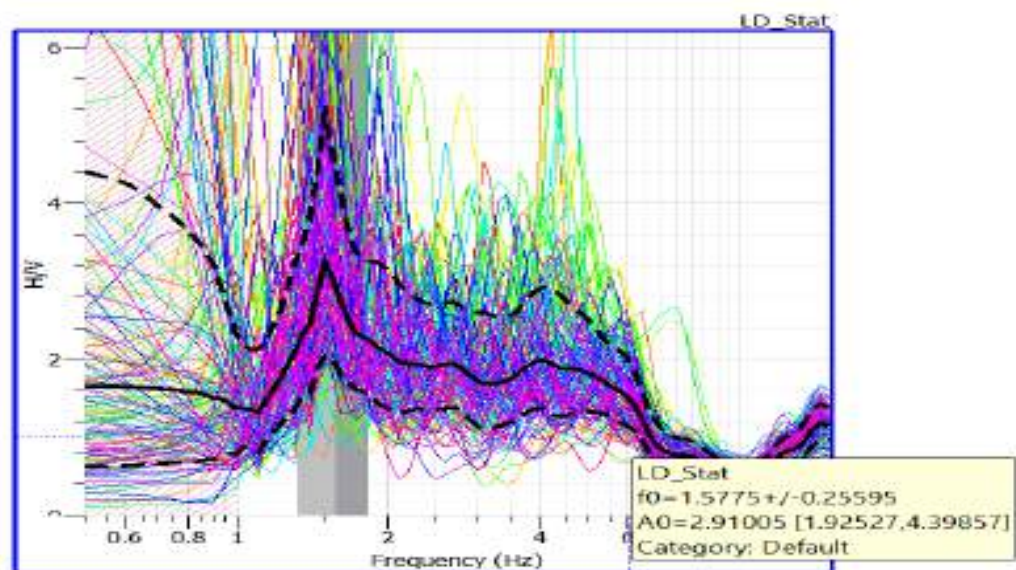
Titik pengukuran MT1

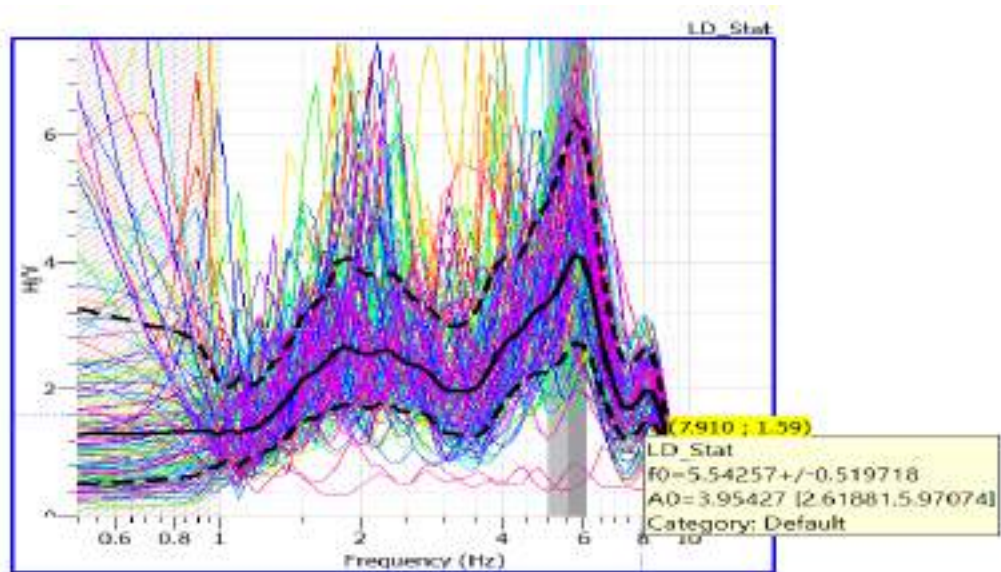
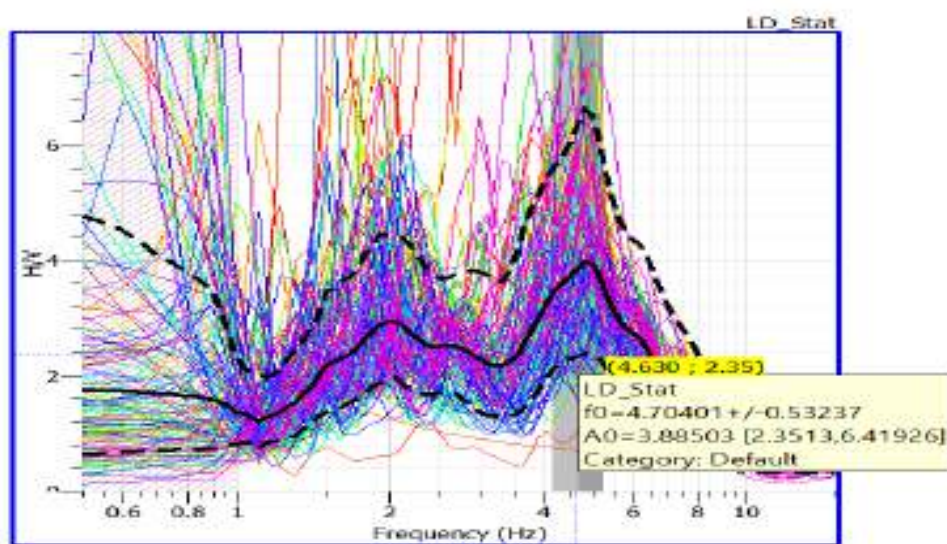


Titik pengukuran MT2



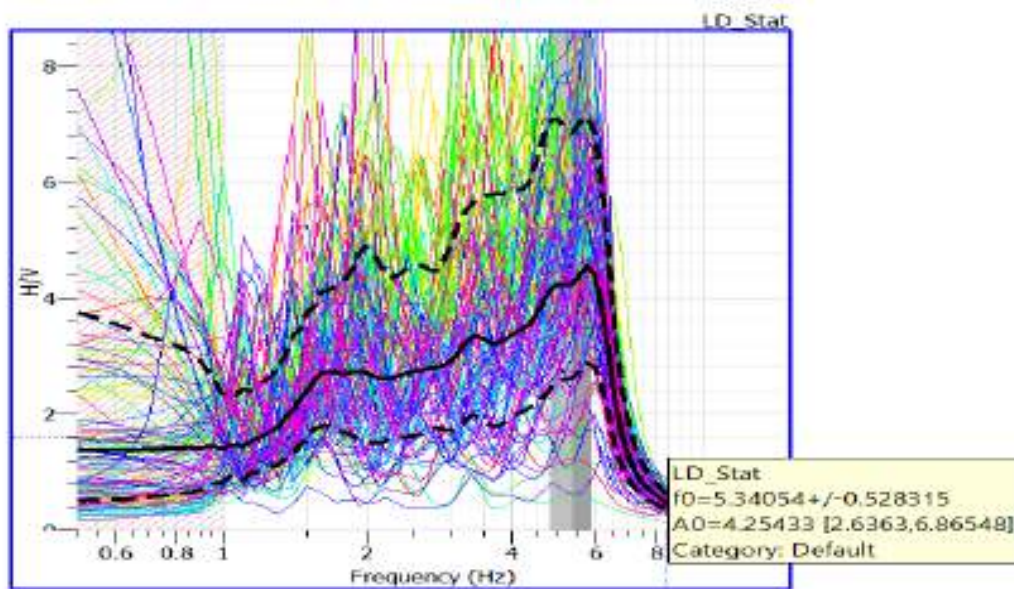
M A R A S S A R

Titik pengukuran MT3**Titik pengukuran MT4**

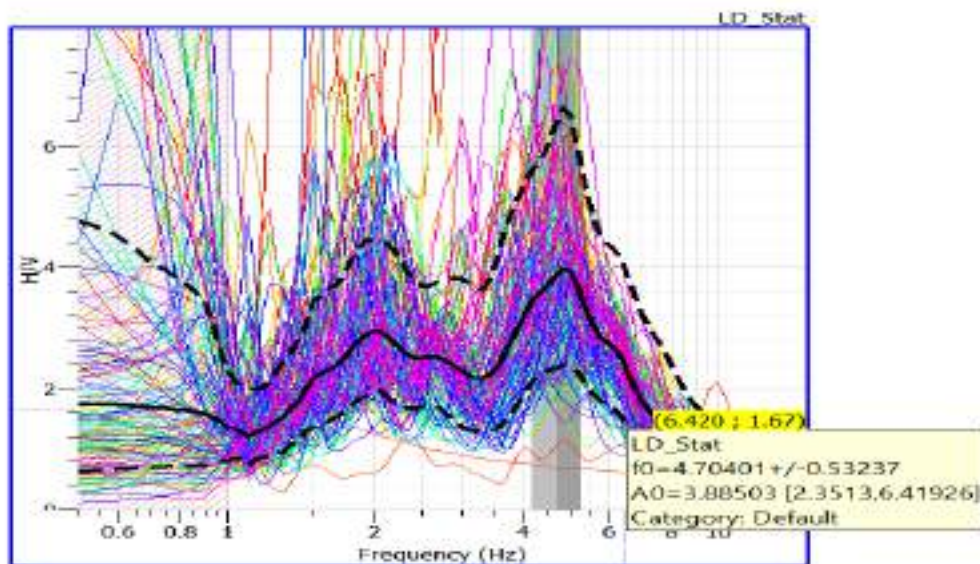
Titik pengukuran MT5**Titik pengukuran MT6**

M A K A S S A R

Titik pengukuran MT7



Titik pengukuran MT8



1. MENGHITUNG PERIODE DOMINAN (T_0)

Untuk Titik Pertama (MT1)

$$\begin{aligned} T_0 &= \frac{1}{f_0} \\ &= \frac{1}{1,62955} \\ &= 0,6136663 \text{ sekon} \end{aligned}$$

2. MENGHITUNG INDEKS KERENTANAN SEISMIK (K_g)

Untuk Titik Pertama (MT1)

$$\begin{aligned} K_g &= \frac{A_0^2}{f_0} \\ &= \frac{2,27646}{1,62955} \\ &= 3.18018479 \end{aligned}$$

3. MENGHITUNG PERCEPATAN GETARAN TANAH (PGA)

Untuk Titik Pertama (MT1)

$$\begin{aligned} \alpha_g &= \frac{5}{\sqrt{T_0}} \\ &= \frac{5}{\sqrt{0,6136663}} \\ &= \frac{5}{0,7833685} \\ &= 6,382692 \text{ gal} \end{aligned}$$



LAMPIRAN III
DOKUMENTASI PENELITIAN

UNIVERSITAS ISLAM NEGERI
ALAUDDIN
M A K A S S A R



**Foto bersama Tim Mikrotremor di depan RSUD Prof. Dr. H. M. Anwar
Makkatutu Bantaeng**



Foto persiapan pemasangan alat Mikrotremor di tanah asli



Foto persiapan pemasangan alat Mikrotremor di tanah timbunan



Proses (*leveling*) mengatur ketiga kaki seismometer agar gelembung air tepat berada ditengah yang menandakan bahwa posisi alat sudah rata dengan tanah.



Proses perekaman Mikrotremor



Proses pengolahan data dengan menggunakan software Geopshy



LAMPIRAN IV
PERSURATAN

UNIVERSITAS ISLAM NEGERI
ALAUDDIN
M A K A S S A R

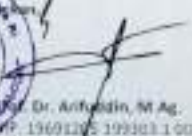

UIN ALAUDDIN

KEPUTUSAN DEKAN FAKULTAS SAINS & TEKNOLOGI UIN ALAUDDIN MAKASSAR
NOMOR : 074 TAHUN 2019

TENTANG
PEMBIMBING DALAM PENELITIAN DAN PENYUSUNAN SKRIPSI MAHASISWA JURUSAN FISIKA
FAKULTAS SAINS & TEKNOLOGI UIN ALAUDDIN MAKASSAR
DEKAN FAKULTAS SAINS & TEKNOLOGI UIN ALAUDDIN MAKASSAR

Membaca	Surat Permohonan Jurusan FISIKA, Fakultas Sains & Teknologi UIN Alauddin Makassar, Nama NURHidayati NIM : 60400115034 tertanggal 11 Januari 2019 untuk mendapatkan Pembimbing Skripsi dengan Judul : "Estimasi Indeks Kereaktifan Tanah Bangunan (ESOD) Prof. Dr. Anwar Makhsud Banteng Berdasarkan Mikrotremor Dengan Horizontal To Vertical Spectral Ratio (HVSR)"
Merasang	<ol style="list-style-type: none"> a. bahwa untuk membantu penelitian dan penyusunan skripsi mahasiswa tersebut, dipandang perlu untuk menetapkan pembimbing dalam penelitian dan penyusunan skripsi mahasiswa tersebut diatas. b. bahwa mereka yang ditetapkan dalam surat keputusan ini dipandang cakap dan memenuhi syarat untuk diarahi tugas sebagai pembimbing penyusunan skripsi mahasiswa tersebut diatas.
Mengingat	<ol style="list-style-type: none"> 1. Undang-undang Nomor 20 Tahun 2003 Tentang Sistem Pendidikan Nasional 2. Undang-undang Nomor 17 tahun 2003 Tentang Keuangan Negara 3. Undang-undang Nomor 12 Tahun 2012 Tentang Pendidikan Tinggi 4. Peraturan Menteri Agama RI No. 1 Tahun 2012 Tentang Perubahan Ketiga Atas Peraturan Menteri Agama Nomor 2 Tahun 2006 Tentang Mekanisme Pelaksanaan Pembinaan dan Inspeksi Anggaran Pendapatan dan Belanja Negara di Lingkungan Kementerian Agama 5. Peraturan Menteri Agama RI Nomor 24 Tahun 2011 Tentang Organisasi dan Tata Kerja UIN Alauddin Makassar sebagaimana telah diubah terakhir dengan Peraturan Menteri Agama Nomor 3 Tahun 2018 tentang Organisasi dan Tata Kerja UIN Alauddin Makassar 6. Peraturan Menteri Agama RI Nomor 20 Tahun 2014 di Peraturan Menteri Agama Nomor 8 Tahun 2010 Tentang Statuta UIN Alauddin Makassar 7. Keputusan Menteri Agama Nomor 289 Tahun 1998 di Nomor 202 B tahun 1998 Tentang pemberian kuasa dan Pen deleghasian Wewenang Menandatangani Surat Keputusan 8. Keputusan Menteri Keuangan Nomor : 130/KM/07/ tahun 2008 Tentang Perubahan UIN Alauddin Makassar pada Dapok sebagai Penerima Pemerintah yang Menerima Penghasilan Badan Layanan Umum (BLU) 9. Keputusan Rektor UIN Alauddin Makassar No. 200 tahun 2016 Tentang Pedoman Tata Kelola UIN Alauddin Makassar
MENUTUSKAN	
Pertama	Mengangkat/ Menunjuk saudara
kedua	<ol style="list-style-type: none"> 1. Muh. Said L, S.Si., M.Pd. sebagai Pembimbing Pertama, 2. Aywan Wahyuni, S.Si., M.Si. sebagai Pembimbing Kedua.
ketiga	Tugas Pembimbing dalam penelitian dan penyusunan skripsi mahasiswa adalah memeriksa draft skripsi dan naskah wispa, memberi bimbingan, petunjuk-petunjuk, perbaikan mengenai materi, metode, bahasa dan kerangka, mengawasi/meneliti.
keempat	Segala biaya yang timbul akibat dikeluarkannya surat keputusan ini dibebankan kepada Anggaran Belanja Fakultas Sains & Teknologi UIN Alauddin Makassar.
kelima	Surat Keputusan ini mulai berlaku sejak tanggal ditetapkan dan apabila ditemukan hal terdapat kekeliruan di dalamnya dan dipertah sebagai mana mestinya.
kelima	Surat Keputusan ini disampaikan kepada masing-masing yang bersangkutan untuk dikehut dan dilaksanakan dengan penuh tanggungjawab.

Ditetapkan di: Makassar
Pada tanggal: 11 Januari 2019


Dr. Anifuddin, M. Ag.
NIP. 19691205 199303 1 001



M A K A S S A R



PEMERINTAH PROVINSI SULAWESI SELATAN
DINAS PENANAMAN MODAL DAN PELAYANAN TERPADU SATU PINTU
 BIDANG PENYELENGGARAAN PELAYANAN PERIZINAN

Nomor : 11814/S.01/PTSP/2019
 Lampiran :
 Perihal : izin Penelitian

Kepada Yth.
 Bupati Bantaeng

di
Tempat

Berlasaskan surat Dekan Fak. Sains dan Teknologi UIN Alauddin Makassar Nomor : 885/Un.6/FS7/PP.00.9/02/2019 tanggal 20 Februari 2019 perihal tersebut diatas, mahasiswa/peneliti dibawah ini:

Nama : **NURHIDAYANTI**
 Nomor Pokok : 60400115914
 Program Studi : Fisika
 Pekerjaan/Lembaga : Mahasiswa(S1)
 Alamat : Jl. H. M. Yasin Limpo No. 36, Samata Gowa

Bermaksud untuk melakukan penelitian di daerah/kantor saudara dalam rangka penyusunan Skripsi, dengan judul:

" ESTIMASI INDEKS KERENTANAN SESMIK BERDASARKAN MIKROTREMOR METODE HORIZONTAL TO VERTIKAL SPEKTRAL RATIO (HVSJR) DI RSUD PROF DR. H M ANWAR MAKKATUTU BANTAENG "

Yang akan dilaksanakan dari : Tgl. 18 s/d 20 Maret 2019

Sehubungan dengan hal tersebut diatas, pada prinsipnya kami menyetujui kegiatan dimaksud dengan ketentuan yang tertera di belakang surat izin penelitian.

Demikian Surat Keterangan ini diberikan agar dipergunakan sebagaimana mestinya.

Diterbitkan di Makassar
 Pada tanggal : 25 Februari 2019

A.n. GUBERNUR SULAWESI SELATAN
 KEPALA DINAS PENANAMAN MODAL DAN PELAYANAN TERPADU SATU
 PINTU PROVINSI SULAWESI SELATAN
 Selaku Administrator Pelayanan Perizinan Terpadu

A. M. YAMIN, SE., MS.
 Pangkat : Pembina Utama Madya
 Np : 19610513 195002 1 002

Terselamatkan Yth.
 1. Dekan Fak. Sains dan Teknologi UIN Alauddin Makassar di Makassar;
 2. Peringat

3444/PTSP.01.01-2019



Jl. Bougenville No.5 Telp. (0411) 441077 Fax. (0411) 448936
 Website : <http://smp.sulseprov.go.id> Email : ptsp@sulseprov.go.id
 Makassar 90222





KEPUTUSAN DEKAN FAKULTAS SAINS & TEKNOLOGI
UIN ALAUDDIN MAKASSAR
NOMOR : 238 TAHUN 2019

TENTANG

PANITIA SEMINAR PROPOSAL PENELITIAN DAN PENYUSUNAN SKRIPSI MAHASISWA
JURUSAN FISIKA FAKULTAS SAINS & TEKNOLOGI UIN ALAUDDIN MAKASSAR
DEKAN FAKULTAS SAINS & TEKNOLOGI UIN ALAUDDIN MAKASSAR

- Membaca Surat Permohonan Ketua Jurusan Fakultas Sains & Teknologi UIN Alauddin Makassar Nurhidayanti NIM 60460115014 tertanggal 01 Februari 2019, untuk melaksanakan seminar proposal
- Menimbang Bahwa untuk pelaksanaan dan kelancaran seminar proposal perlu dibentuk panitia seminar proposal dan penyusunan skripsi
- Mengingat
1. Undang-undang No. 20 Tahun 2003 tentang Sistem Pendidikan Nasional
 2. Undang-undang Nomor 17 Tahun 2003 tentang Keuangan Negara
 3. Undang-undang Nomor 12 Tahun 2012 tentang Pendidikan Tinggi
 4. Peraturan Menteri Agama RI No. 1 Tahun 2012 tentang Perubahan Ketiga atas Peraturan Menteri Agama No. 2 Tahun 2006 tentang Mekanisme Pelaksanaan Pembayaran atas Beban Anggaran Penerimaan dan Belanja Negara di Lingkungan Kementerian Agama
 5. Peraturan Menteri Agama RI Nomor 20 Tahun 2013 jo Peraturan Menteri Agama Nomor 65 Tahun 2013 tentang Organisasi dan Tata Kerja UIN Alauddin Makassar
 6. Peraturan Menteri Agama RI Nomor 20 Tahun 2014 jo Peraturan Menteri Agama Nomor 6 Tahun 2016 tentang Statuta UIN Alauddin Makassar
 7. Keputusan Menteri Agama Nomor 289 Tahun 1993 jo Nomor 200/B Tahun 1998 tentang Pembinaan Kurikulum dan Peningkatan Wewenang Menandatangani Surat Keputusan
 8. Keputusan Menteri Keuangan No 320/5/2006 tentang penempatan UIN Alauddin Makassar pada Dep. Agama sebagai instansi Pemerintah yang Menjamin Pengabdian Badan Layanan Umum (BLU)
 9. Keputusan Rektor UIN Alauddin No. 200 tahun 2016 tentang Pedoman Edukasi UIN Alauddin Makassar

MEMUTUSKAN

- Menetapkan:
Pertama Membentuk Panitia Seminar Proposal Jurusan FISIKA Fakultas Sains dan Teknologi UIN Alauddin Makassar dengan komposisi:

Ketua : Rahmaniah, S.Si, M.Si
Sekertaris : Ihsan, S.Pd., M.Si
Pembimbing 1 : Muh. Said L., S.Si, M.Si
Pembimbing 2 : Ayasari Wahyuni, S.Si, M.Sc.
Pengaji 1 : Sakara, S.Si, M.Sc., Ph.D
Pengaji 2 : Dr. Sohra, M.Ag
Pelaksana : Hapsah, S.T.

- Kedua
1. Panitia bertugas melaksanakan seminar proposal, memberi bimbingan, petunjuk, pelarut, perbaikan mengenai materi, metode, bahasa dan kemampuan menguasai masalah penyusunan skripsi
 2. Biaya pelaksanaan seminar proposal penelitian dibebankan kepada anggaran Fakultas Sains dan Teknologi UIN Alauddin Makassar
 3. Apabila dikemudian hari ternyata terdapat kekeliruan dalam surat keputusan ini akan diubah dan diperbaiki sebagaimana mestinya

Surat Keputusan ini disampaikan kepada yang bersangkutan untuk diketahui dan dilaksanakan dengan penuh tanggungjawab.

Ditetapkan di
Makassar
pada tanggal
01 Februari 2019

Makassar
01 Februari 2019



Prof. Dr. H. Arhuddin, M.Ag.
NIP. 19691205 199303 1 051



PEMERINTAH KABUPATEN BANTAENG
DINAS PENANAMAN MODAL DAN PTSP

Alamat : J. A. Mawassang Kab. Bantaeng, email : info@kab.bantaeng.go.id, website : www.kab.bantaeng.go.id

IZIN PENELITIAN

NOMOR : 5024/R/PL/DPM-PTSP/PAW/2019

DASAR HUKUM :

1. Undang-Undang Nomor 18 Tahun 2002 tentang Sistem Nasional Penelitian, Pengembangan dan Penerapan (PTTEK).
2. Peraturan Menteri Dalam Negeri Nomor 64 Tahun 2011 tentang Penerimaan dan Pelaksanaan Rekomendasi Penelitian sebagaimana telah diubah dengan Peraturan Menteri Dalam Negeri Nomor 7 Tahun 2014.
3. Peraturan Menteri Dalam Negeri Nomor 3 Tahun 2018 tentang Penetapan Surat Keterangan Penelitian.
4. Peraturan Bupati Bantaeng Nomor 57 Tahun 2017 tentang Perubahan Atas Peraturan Bupati Bantaeng Nomor 80 Tahun 2016 tentang Peningkatan Kewirahatan Pelayanan Administrasi Perizinan dan Non Perizinan.

MEMBERIKAN IZIN KEPADA

Nama	NURHIDAYATI
Jenis Kelamin	Pelencuan
N.I.M	63400115914
No. KTP	7303016508970001
Program Studi	Fisika
Pekerjaan	Relajar Mahasiswa Universitas Islam Negeri Alauddin Makassar
Alamat	J. Pakkawan Kec. Bontopri Kabupaten Bantaeng

Bermaksud mengadakan penelitian dalam rangka penelitian Skripsi dengan Judul
"Estimasi Indeks Kerentanan Seismik Berdasarkan Mikroremor Metode Horizontal To vertikal spektral rasion (HVSR) di RSUD Prof. Dr. H. M. Anwar Makkatulu Kab. Bantaeng"

Lokasi Penelitian	RSUD Prof. Dr. H. M. Anwar Makkatulu Kab. Bantaeng
Lama Penelitian	04 Maret 2019 s.d. 20 Maret 2019

Sehubungan dengan hal tersebut diatas pada prinsipnya kami dapat **menyetujui** kegiatan dimaksud dengan ketentuan

1. Sebelum dan sesudahnya melaksanakan kegiatan, yang bersangkutan harus melapor kepada Pemerintah setempat.
2. Penelitian tidak menyimpang dari lain yang diberikan.
3. Menjalani semua peraturan Perundang-undangan yang berlaku dan mengutamakan adat-istiadat Daerah setempat.
4. Menyerahkan 1 (satu) eksemplar copy hasil Penelitian kepada Bupati Bantaeng, Co. Kepala Kantor Kesatuan Bangsa, Politik dan Perlindungan Masyarakat Kab. Bantaeng.
5. Surat izin akan dicabut kembali dan dinyatakan tidak berlaku, apabila ternyata pemegang Surat izin tidak mentaati ketentuan-ketentuan tersebut di atas.

Demiakan surat keterangan ini diberikan untuk dipergunakan sebagaimana mestinya.



Diberikan di Kabupaten Bantaeng

Pada tanggal : 04 Maret 2019

W. BUPATI BANTAENG
 KEPALA DINAS PENANAMAN MODAL DAN PTSP


 MUHAMMAD TAFSIR P., S.S., M.AP
 Pangkal / Pangkajene T. I.
 NID. 10900518 109803 1 012



KEMENTERIAN AGAMA
UNIVERSITAS ISLAM NEGERI (UIN) ALAUDDIN MAKASSAR
FAKULTAS SAINS & TEKNOLOGI

Kampus I: Jl. Sultan Alauddin No.63 Telp. 864924 | Fax 864923 |
Kampus II: A. H. M. Yasin Limpa No.36, Pomang-Paling-Gowa Telp. 1500343
(041)841879 Fax (041) 8221400

Gowa, 28 Februari 2019

Nomor : 814/Un.6/FST/PP.00.9/02/2019
Lamp : -
Perihal : Permohonan Tarif Rp. 0,00 (Nol Rupiah)
untuk Penelitian Tugas Akhir

Kepada Yth.
Kepala Balai Besar Meteorologi
Klimatologi dan Geofisika
Wilayah IV Makassar
Di
Tempat

Dengan Hormat,

Dalam Rangka Pencarian Data untuk Tugas Akhir Maka Kami Mohon Bantuan Pengadaan Data – Data bagi Mahasiswa Jurusan Fisika fakultas Sains dan Teknologi UIN Alauddin Makassar Berikut ini :

Nama	: Nuhidayanti
Nim	: 60400113014
Jurusan	: Fisika
Pembimbing/ Promotor	: 1. Muh. Said L, S.Si, M.Pd. 2. Ayusai Wahyuni, S.Si, M.Sc.
Perkiraan Waktu Selesaihya	: Senin, 17 Juni 2019
Judul	: Estimasi Indeks Kerentanan Seismik Berdasarkan Mikrobraker Metode Horizontal To Vertical Spectral Ratio (HVSR) di RSUD Prof. Dr.H.M.Anwar Makkaffutu Bantaeng
Data yang dicari	: 1. Frekuensi Dominan 2. Indeks Kerentanan 3. Percepatan Getaran Tanah
Lokasi	: RSUD Prof. Dr.H.M.Anwar Makkaffutu Bantaeng
Periode	: Serin – Seiza, 18 - 19 Maret 2019

Atas Perhatian dan bantuan Bapak . Ducapkan Terima Kasih

Hormat Kami
Wassalamu
Dolan

Prof. Dr. H. Arifuddin, M.Ag
Nip. 19690205 199303 1 001



PEMERINTAH KABUPATEN BANTAENG
RSUD PROF.Dr.H.M.ANWAR MAKKATUTU

Jl. Teratai No.20 Telp (0413) 21004 Fax (0413) 21786

SURAT KETERANGAN

Nomor : 1337/RSU-BTG/01/VI/2019

Yang bertanda tangan di bawah ini, menerangkan bahwa :

Nama	: NURHIDAYANTI
Tempat / Tanggal Lahir	: Bantaeng / 25 Agustus 1997
Nim	: 60400115014
Jenis Kelamin	: Perempuan
Pekerjaan	: Mahasiswa
Agama	: Islam
Alamat	: Jl. Pahlawan, Kab. Bantaeng

Telah melaksanakan Penelitian di RSUD Prof. Dr. H. M. Anwar Makkatutu Bantaeng Pada tanggal 18 s/d 19 Maret 2019.

Judul Penelitian : *"Estimasi Indeks Kerentanan Siesmik Berdasarkan Mikrotremor Dengan Metode Horizontal To Vertical Spectral Ratio (HVSR) di RSUD Prof. Dr. H. M. Anwar Makkatutu Bantaeng"*

Surat Keterangan ini berlaku sebagai bukti bahwa yang bersangkutan telah melaksanakan Penelitian

Demikian surat keterangan ini kami berikan untuk dipergunakan sebagaimana mestinya.

Bantaeng, 25 Juni 2019



DIREKTUR
RSUD
Prof. Dr. H. M. Anwar Makkatutu
dr. H. SULTAN, M.Kes
Sp.Rad., Sp.Bina Tk. I
Nip. 19710206 200312 1 011

Tembusan :

1. Wakil Ketua UIN Alauddin di Makassar;
2. Yang bersangkutan Saudari **NURHIDAYANTI**;
3. Peninggal.